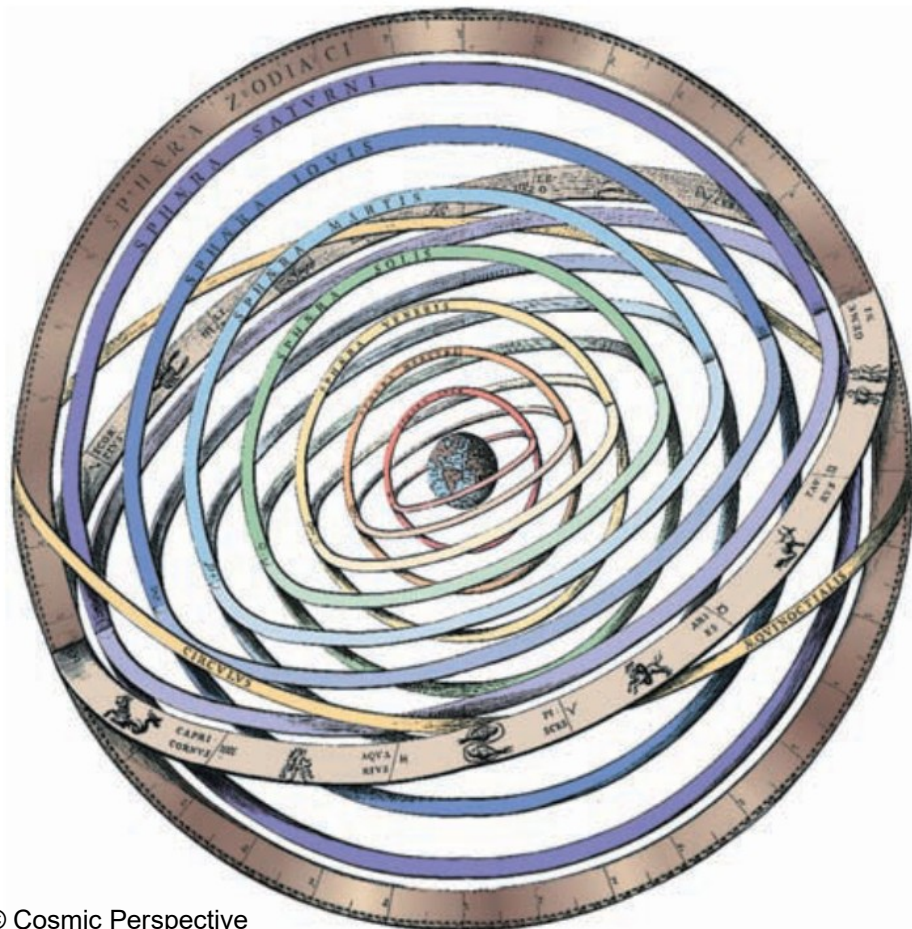


3. Movimentos Planetários

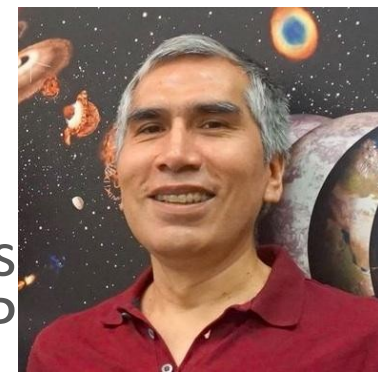


© Cosmic Perspective

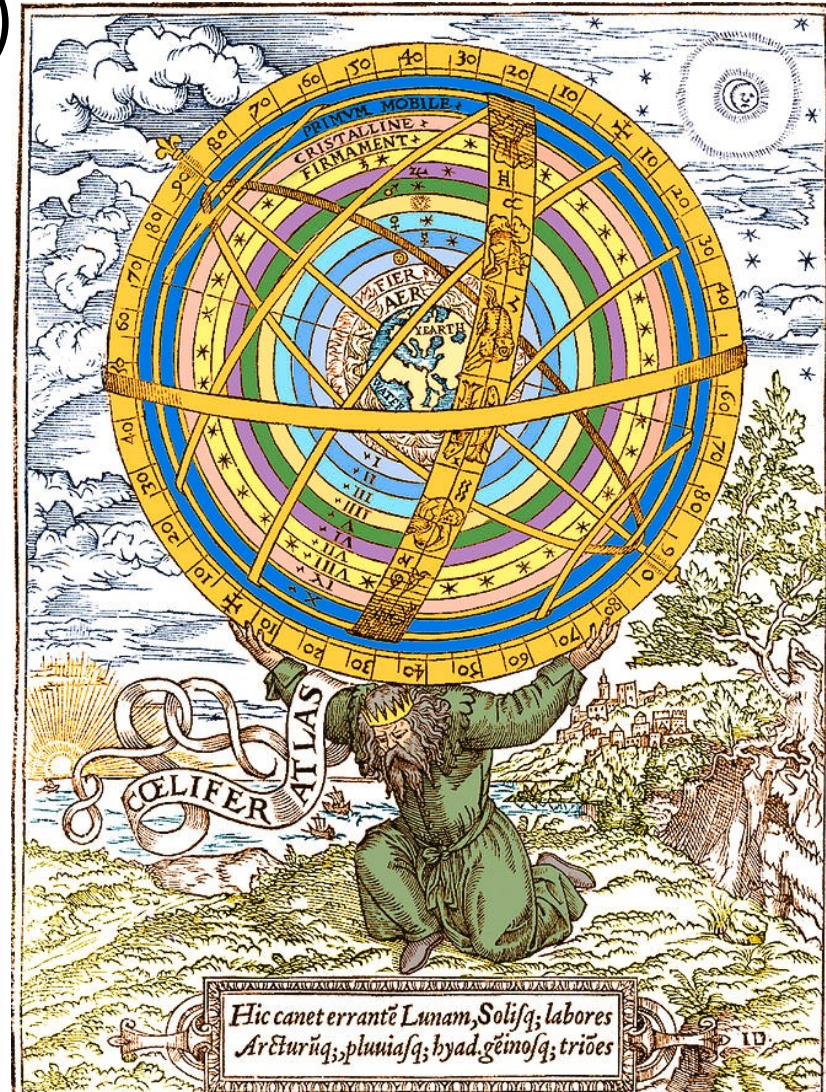
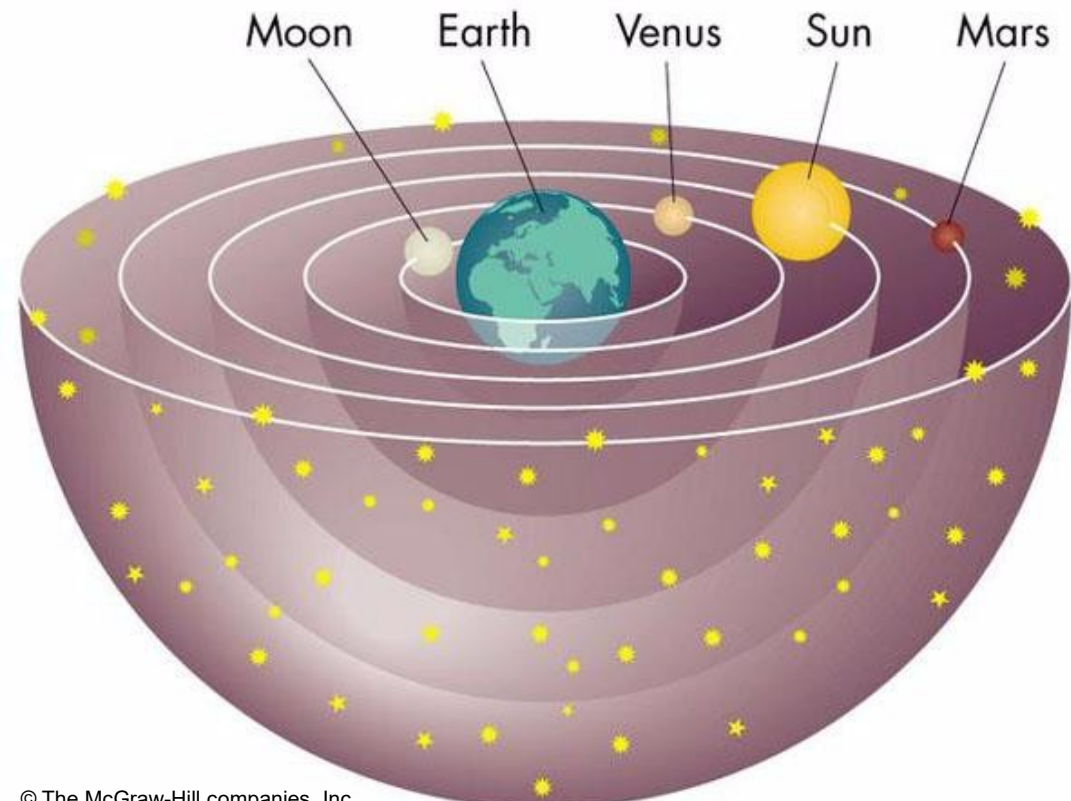


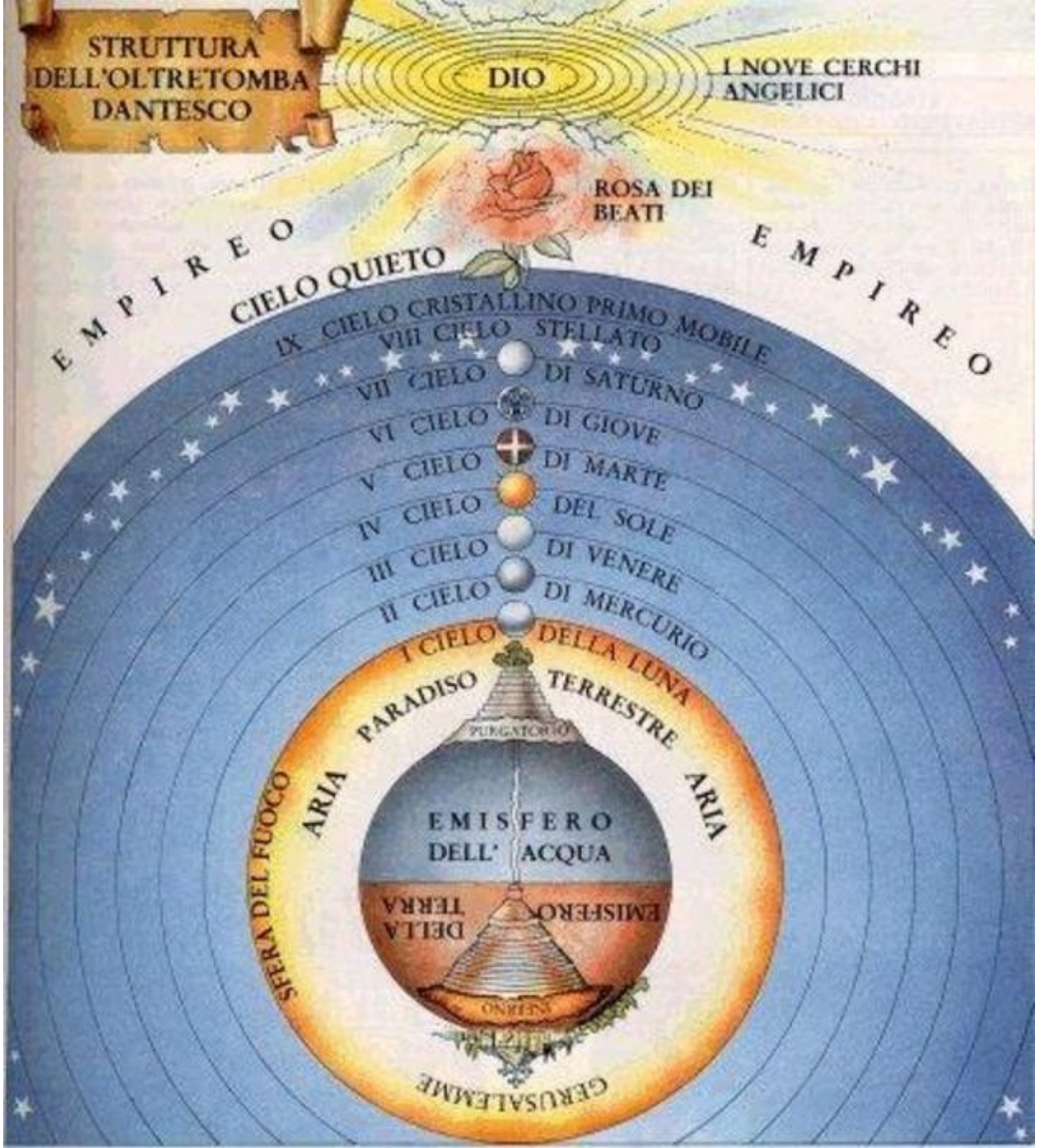
Marte, © NASA

AGA0502, Planetas e Sistemas Planetários
Prof. Jorge Meléndez, IAG-USP



Embora Aristarco de Samos (310 - 230 a.C.) tenha proposto um modelo heliocêntrico, **o modelo geocêntrico** defendido por Aristóteles (384 - 322 a.C.) e outros, e refinado por Ptolomeu (~100 - 170) **predominou até o século XVI**



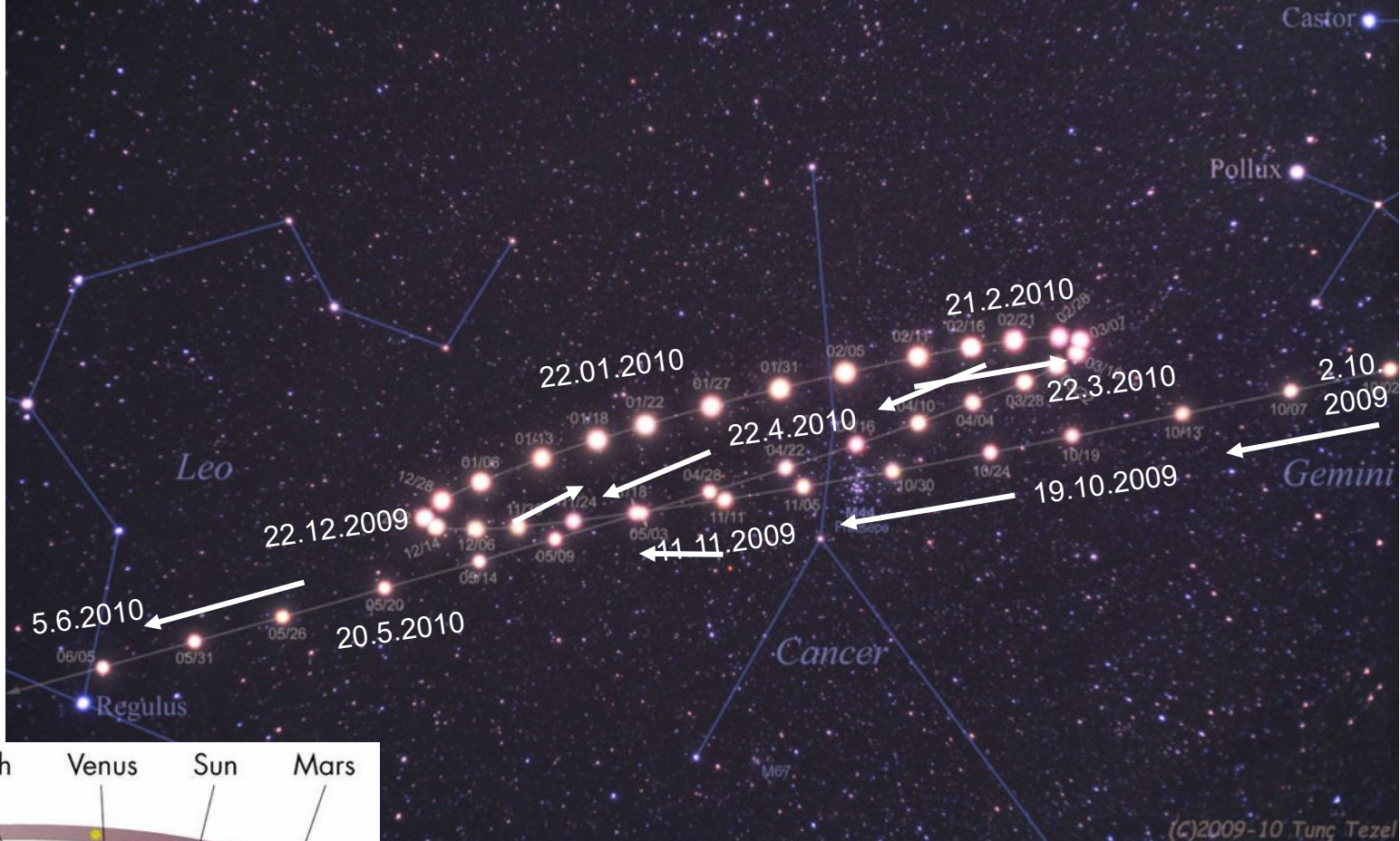


Paraíso geocêntrico da Divina Comédia (Dante Alighieri, 1321)

O paraíso de Dante é uma viagem pelas esferas celestes do universo geocêntrico ptolomaico.

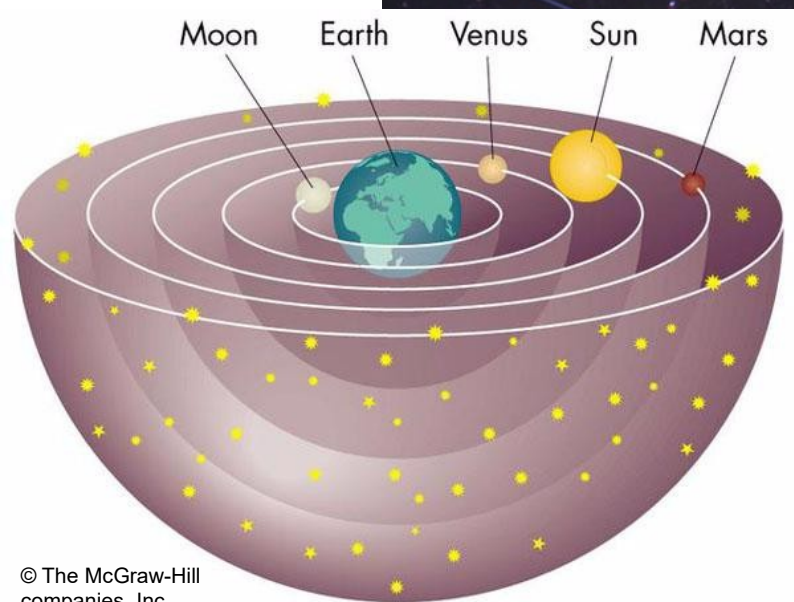
Terra esférica rodeada por esferas concêntricas:

- 1: Lua, 2: Mercúrio, 3: Vênus, 4: Sol, 5: Marte, 6: Júpiter, 7: Saturno.
- 8: Estrelas fixas
- 9: Primum Mobile
- 10: Empíreo (morada de Deus)



[\(C\)2009-10 Tunc Tezel](https://apod.nasa.gov/apod/ap100613.html)

Modelo geocêntrico de esferas celestes simples, não pode explicar o movimento retrógrado de Marte



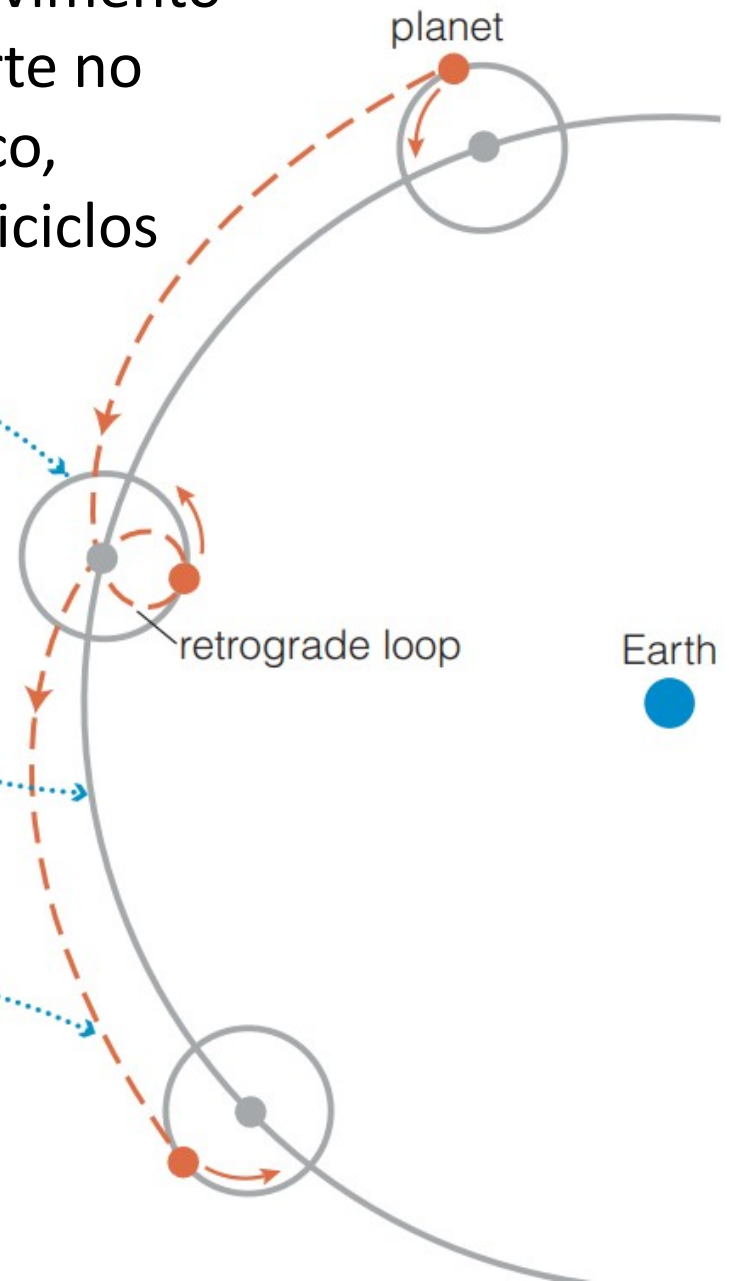


Para explicar o movimento retrógrado de Marte no sistema geocêntrico, Ptolomeu usou epiciclos

*In Ptolemy's model,
the planet goes...
around this small
circle ...*

*... while the small
circle goes around
the big one.*

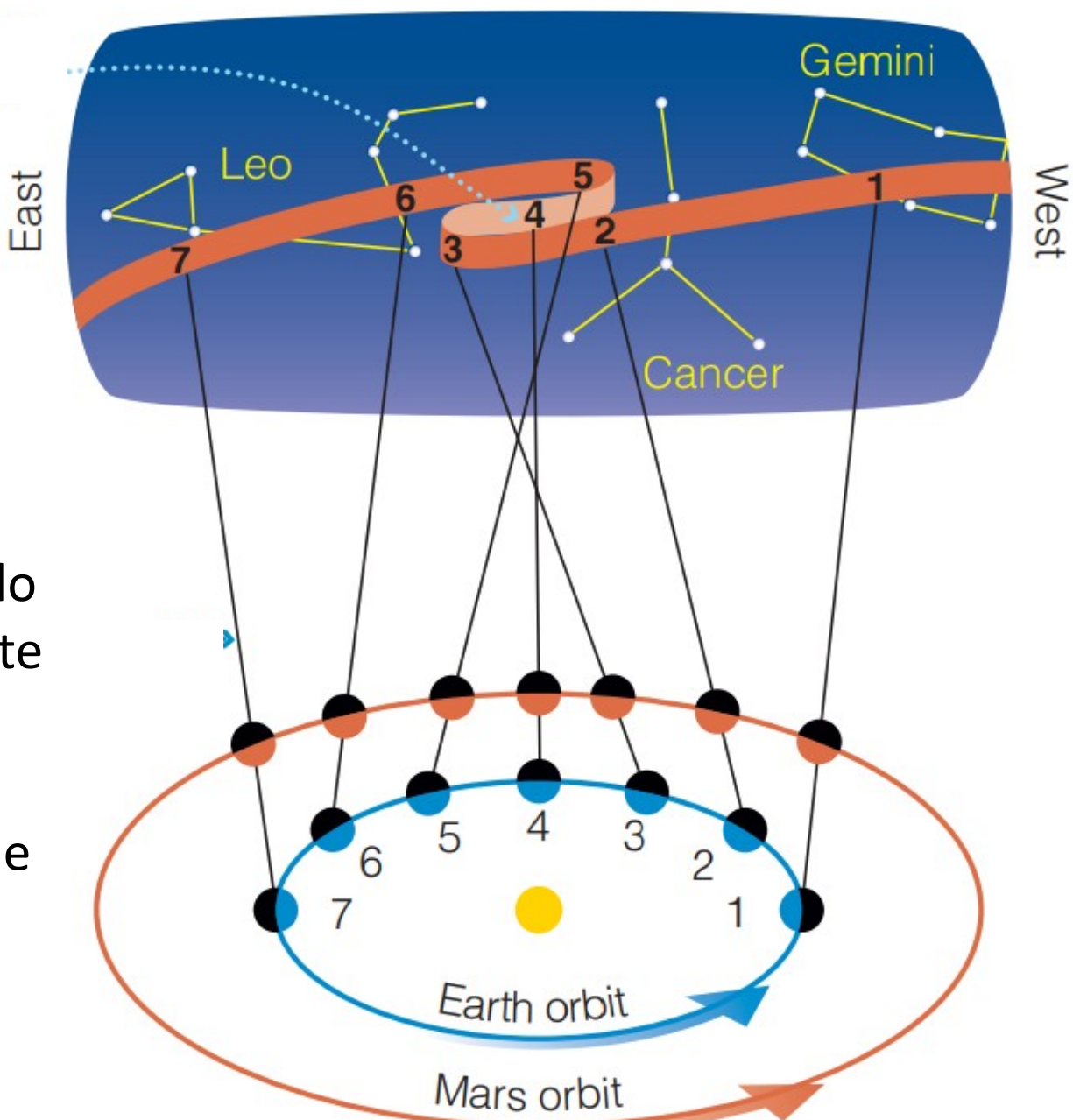
*Result: planet
follows this
dashed path.*





Marte, © NASA

O movimento retrógrado de Marte é naturalmente explicado no sistema heliocêntrico, pela velocidade mais lenta de Marte (planetas mais distantes orbitam o Sol mais lentamente).

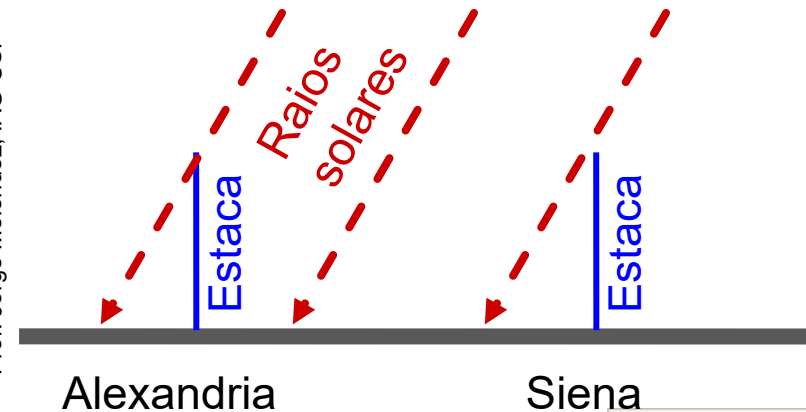


Aristóteles (384 - 322 a.C.): Terra redonda

Durante um eclipse lunar, a sombra da Terra projetada na Lua é sempre circular, sugerindo que a Terra é esférica.



Eratóstenes (276 - 194 a.C.): circunferência da Terra



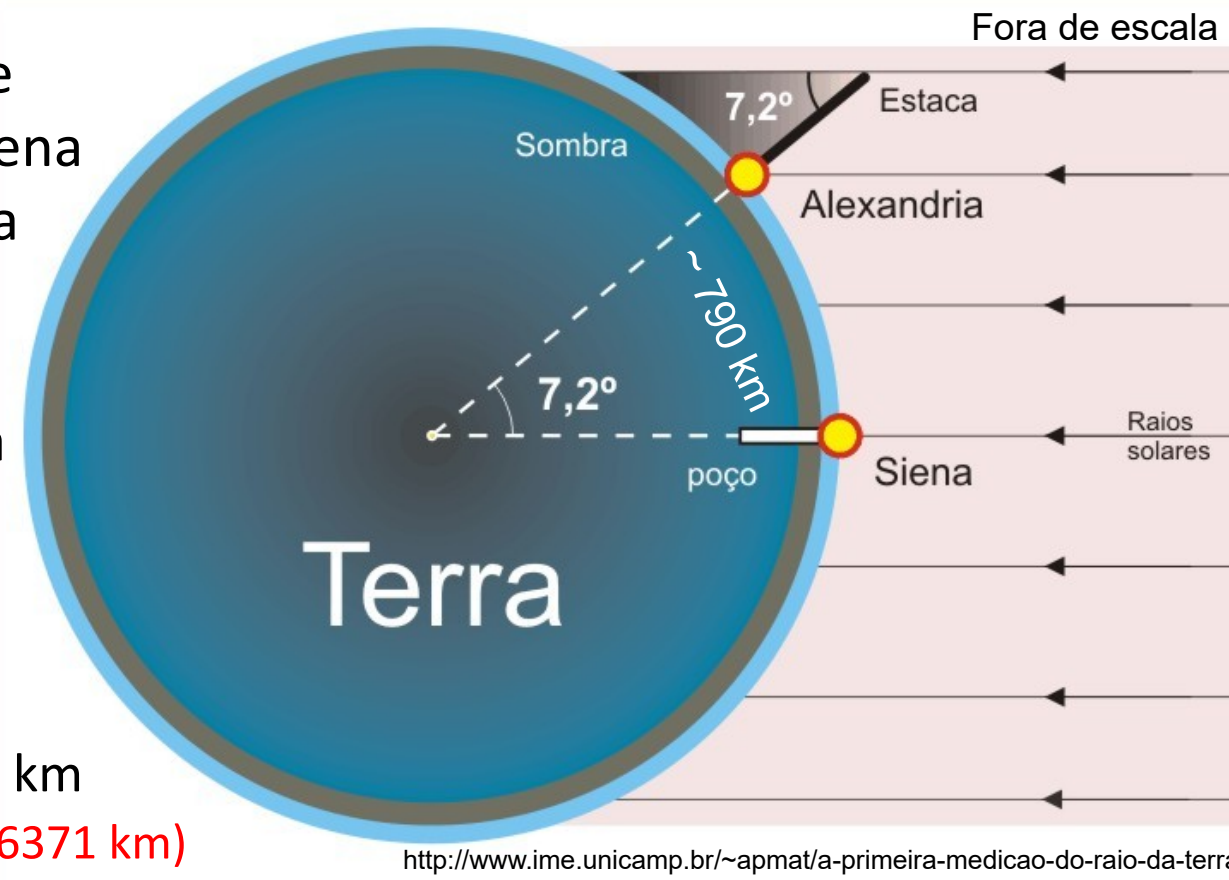
Se a Terra fosse plana, o ângulo de incidência dos raios solares seria igual em diferentes cidades

Eratostenes percebeu que enquanto na cidade de Siena (Assuã) o Sol não produzia sombra ao meio-dia do solstício (21/6), em Alexandria gerava sombra

$$\frac{\text{distância cidades}}{\text{circunfer. Terra}} = \frac{\theta}{2\pi}$$

Rpta: 39500 km $\rightarrow R = 6287$ km

(perto do raio médio da Terra, 6371 km)



Aristarco de Samos (310 - 230 a.C.): heliocentrismo

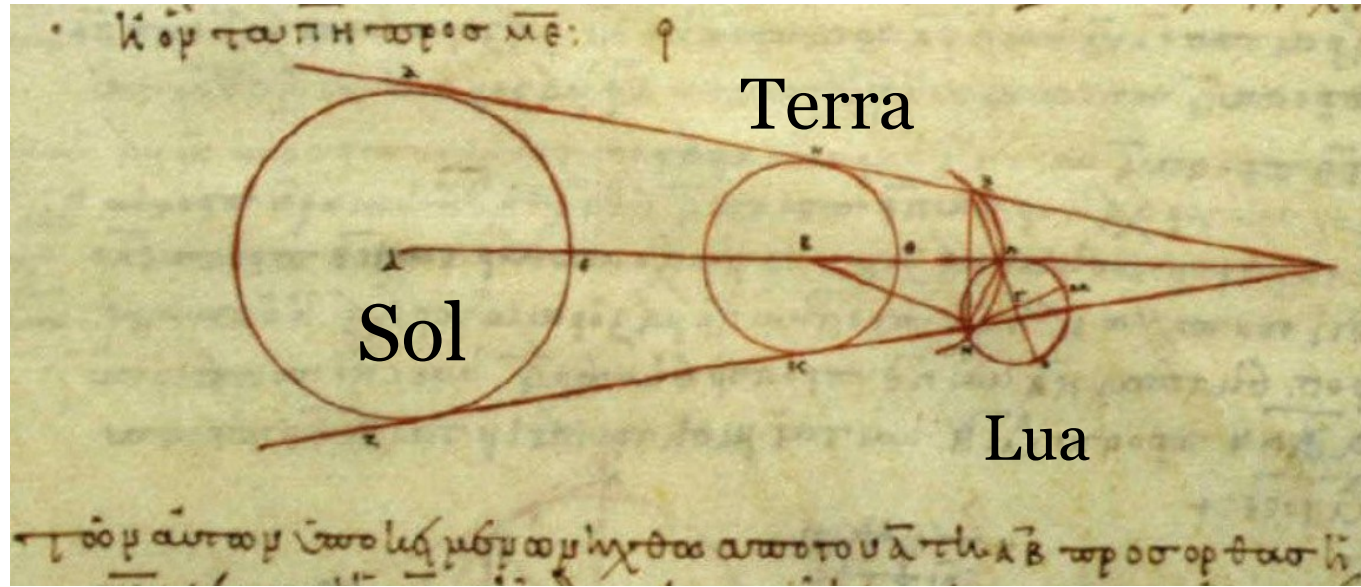
Estimou as distâncias relativas ao Sol e a Lua, e os tamanhos relativos entre a Terra, Lua e o Sol.

Heliocentrismo:

- Sol é muito maior que a Terra
- Geometria mais simples para explicar órbitas e fenômenos astronômicos

Cálculos de Aristarco usando um eclipse lunar.
Cópia grega do século X.

[https://commons.wikimedia.org/wiki/
File:Aristarchus_working.jpg](https://commons.wikimedia.org/wiki/File:Aristarchus_working.jpg)

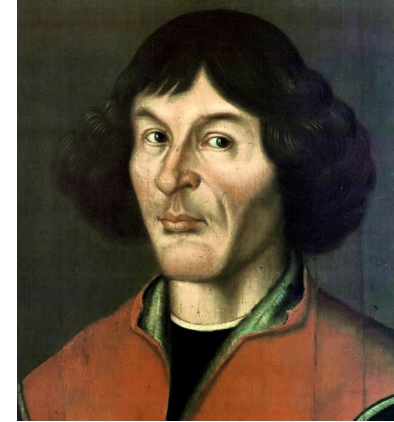
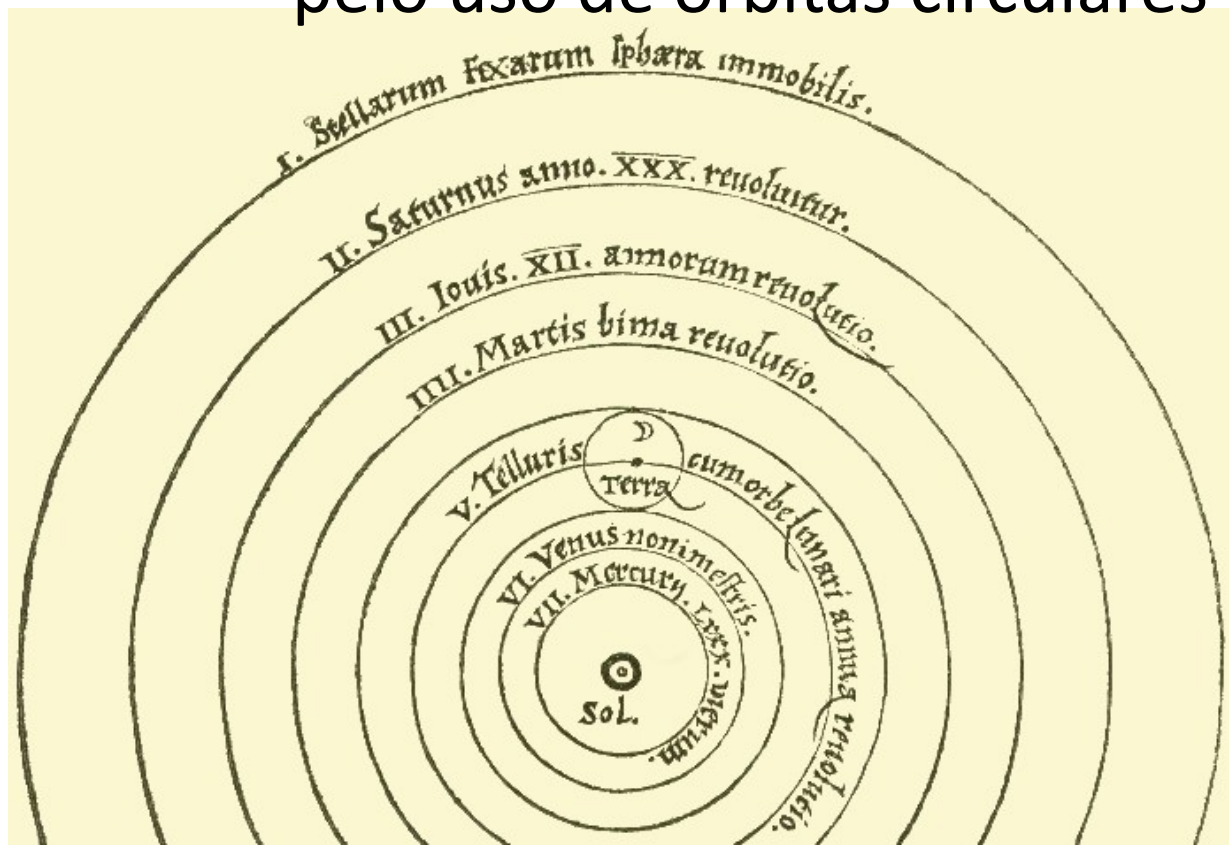
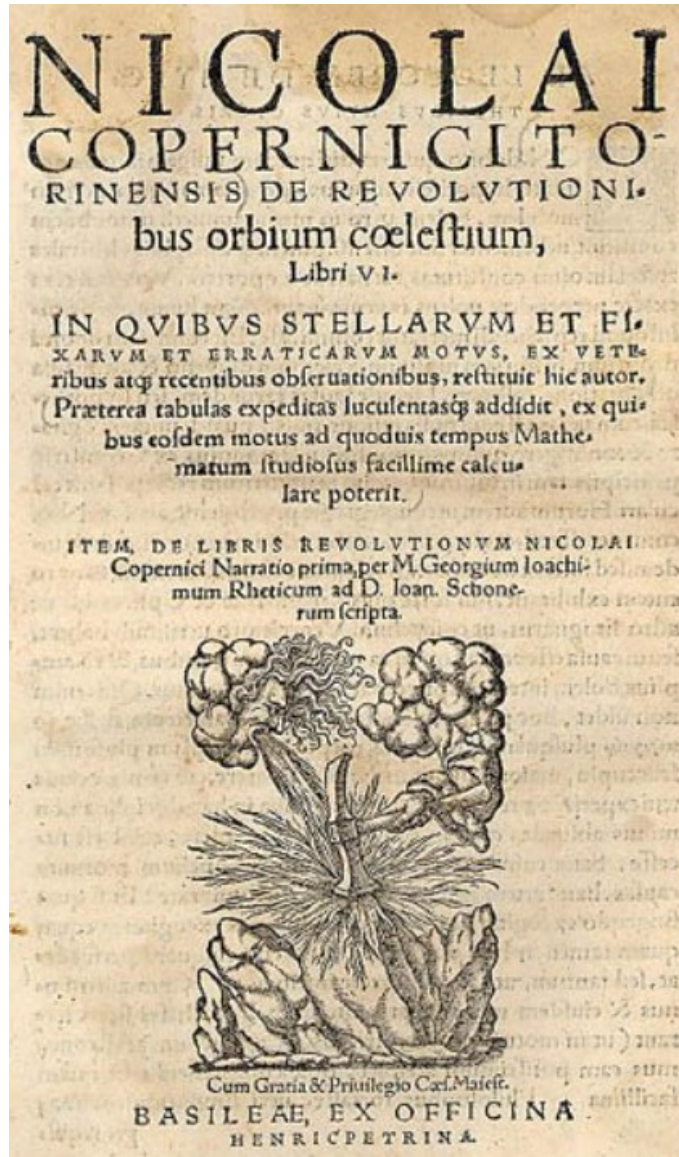


Nicolau Copérnico (19/2/1473 - 24/5/1543):

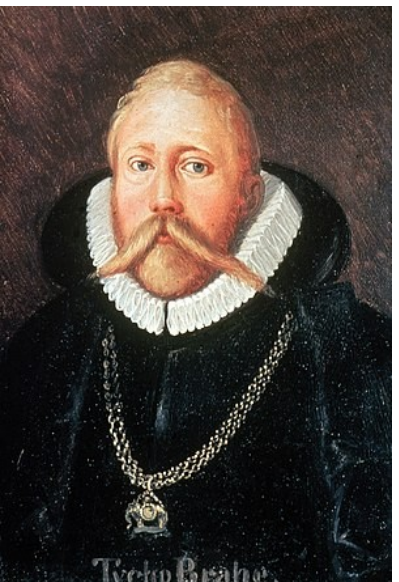
- Cálculos detalhados do modelo heliocêntrico

- Publicado no dia da sua morte

- Problema para explicar os dados, pelo uso de órbitas circulares



Tycho Brahe (1546 - 1601)

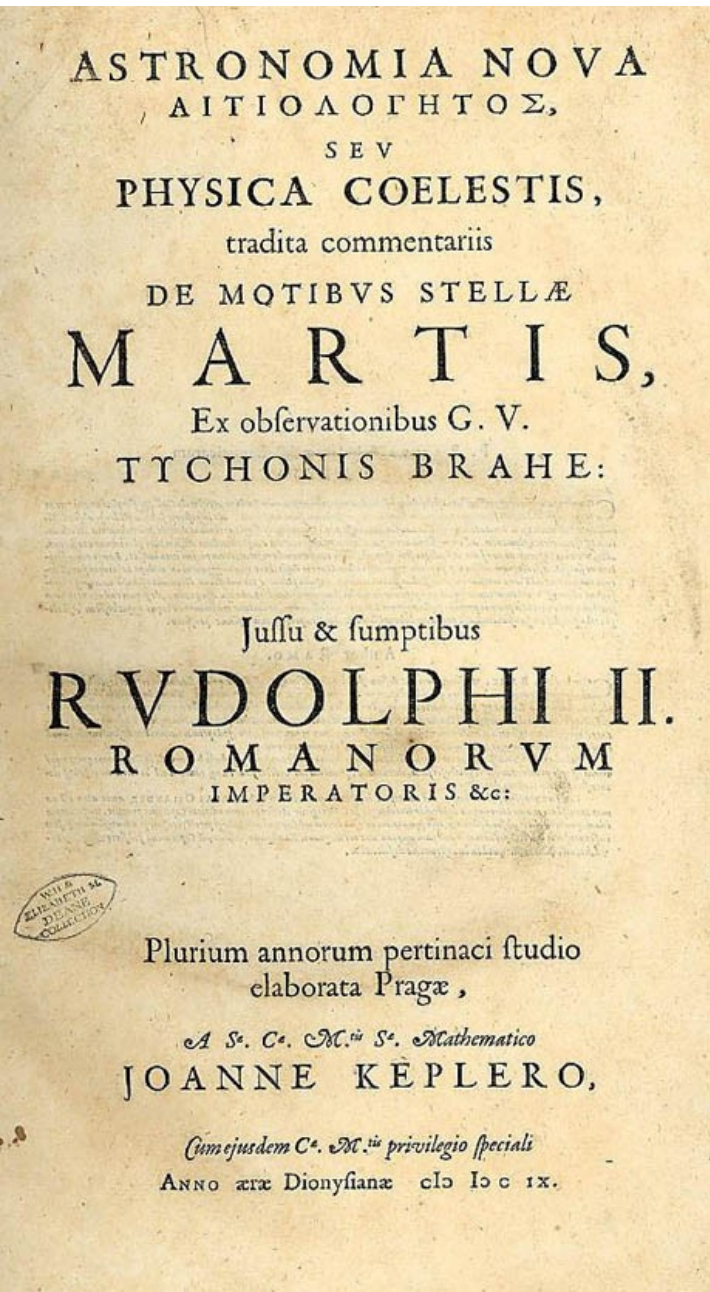


Construiu
observatório
Uraniburgo,
o mais
preciso do
mundo (1-2')

Suas observações foram fundamentais para determinar a órbita de Marte e as leis do movimento planetário de Kepler.



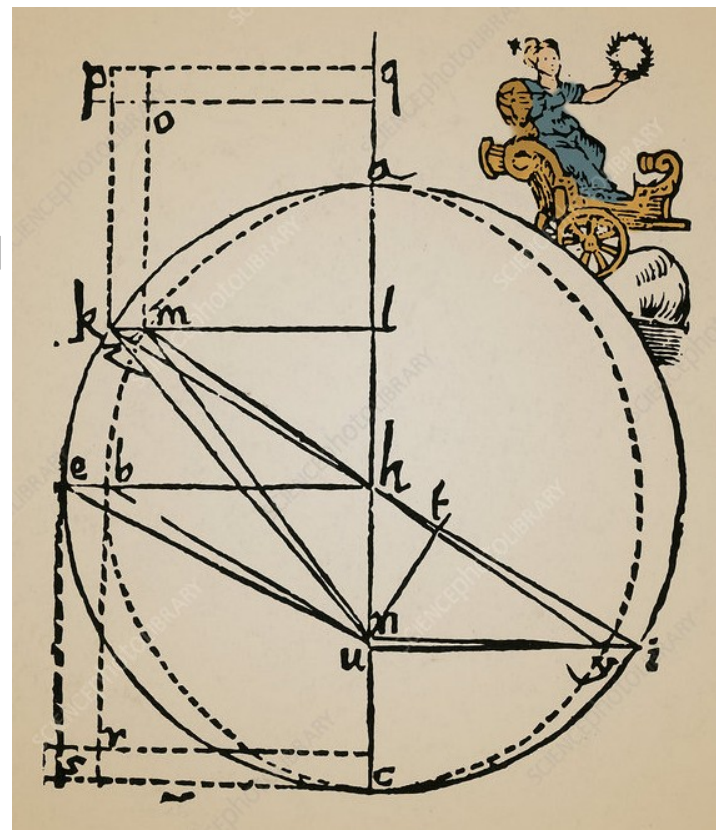
Johannes Kepler (1571 - 1630)



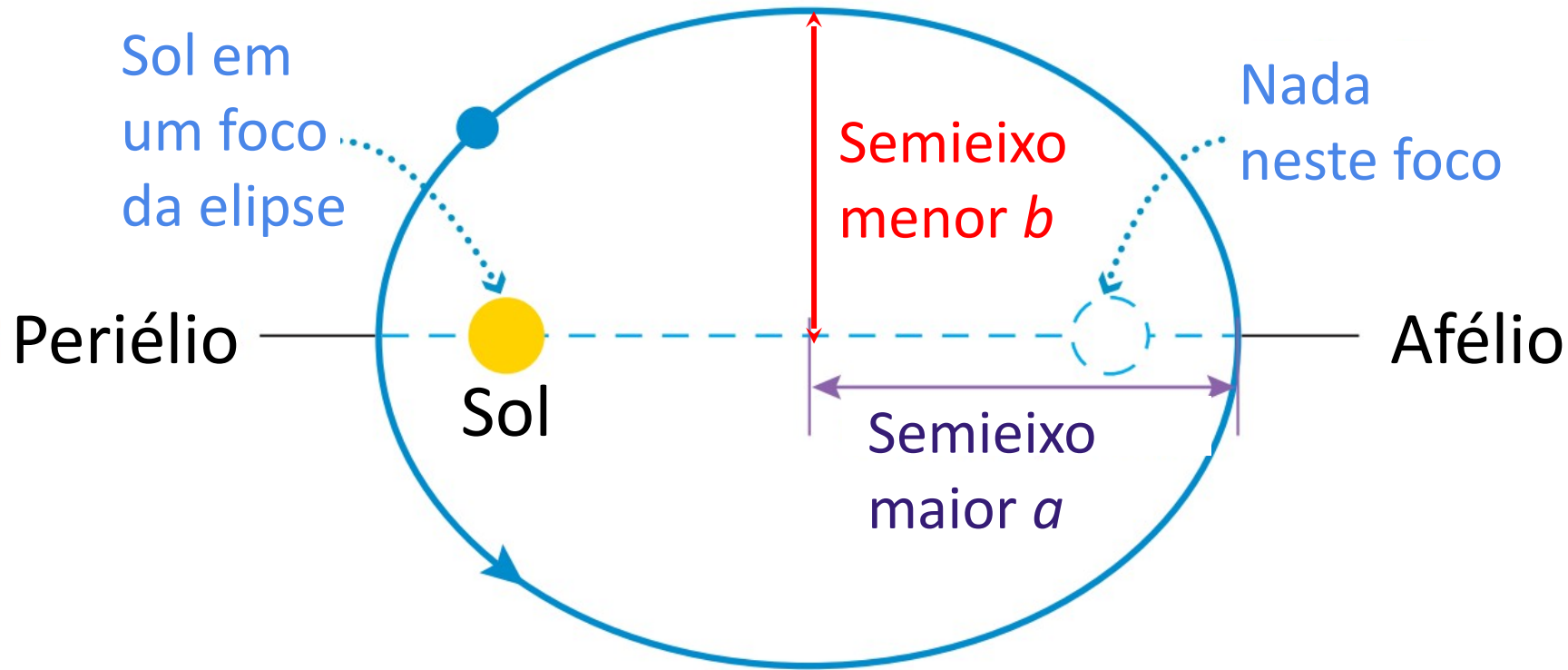
Foi contratado por Tycho em 1600 (um ano antes do seu falecimento, em 1601).



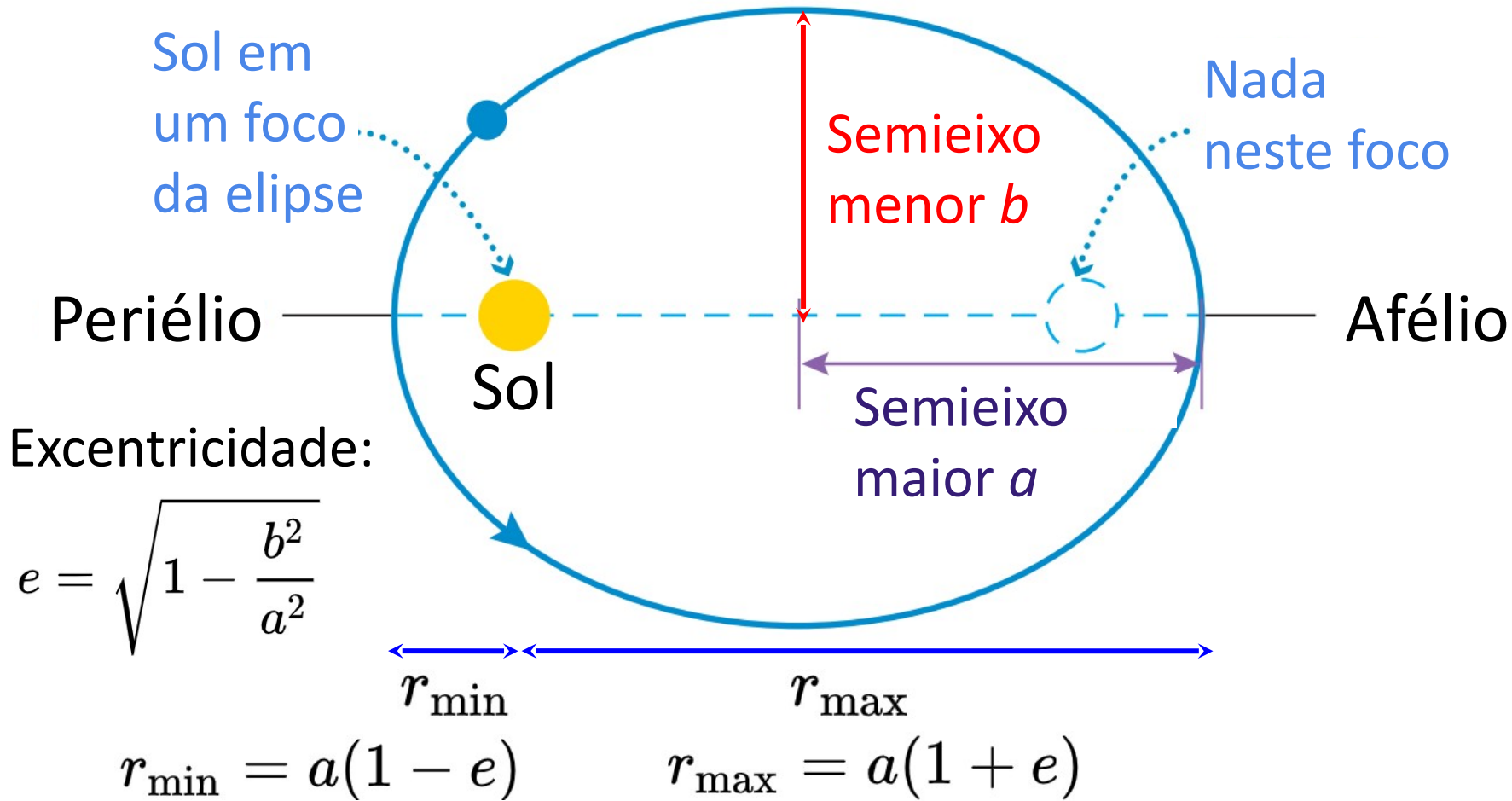
Usando os dados de Tycho, mostrou que uma elipse ajusta perfeitamente a órbita de Marte.



1a lei de Kepler (1609): os planetas se movem em órbitas elípticas, com o Sol em um dos focos.



1a lei de Kepler (1609): os planetas se movem em órbitas elípticas, com o Sol em um dos focos.



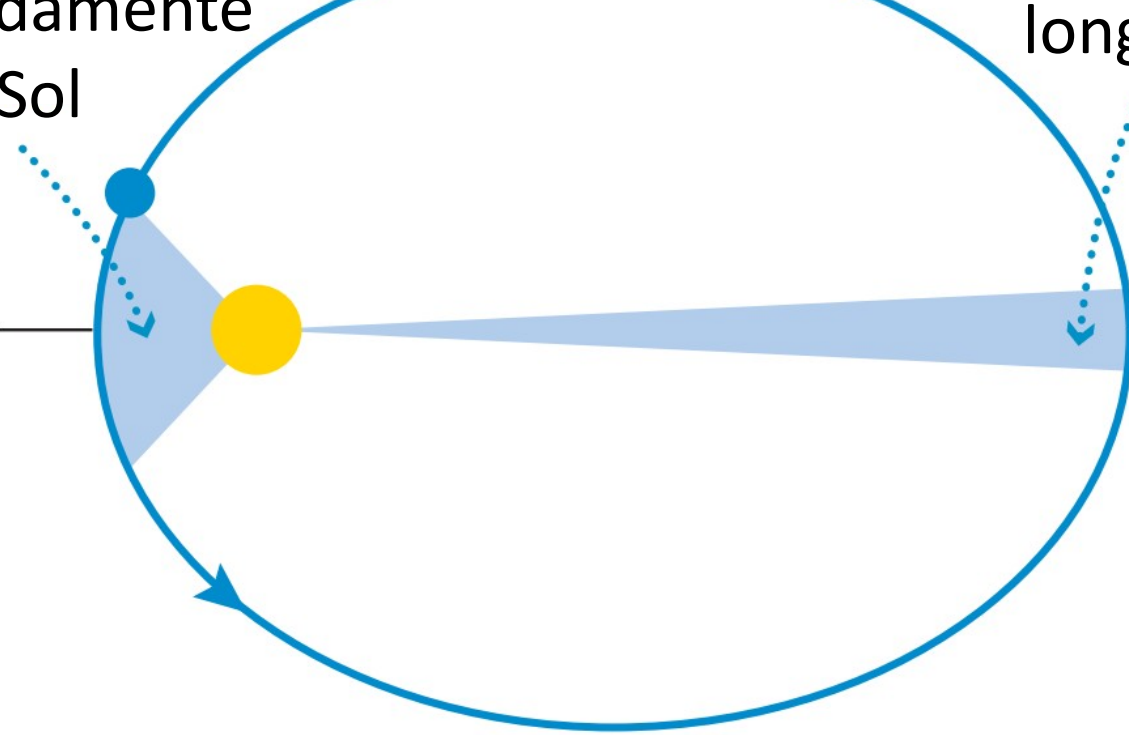
2a lei de Kepler (1609): os planetas descrevem áreas iguais em tempos iguais.

Planeta move-se
mais rapidamente
perto do Sol

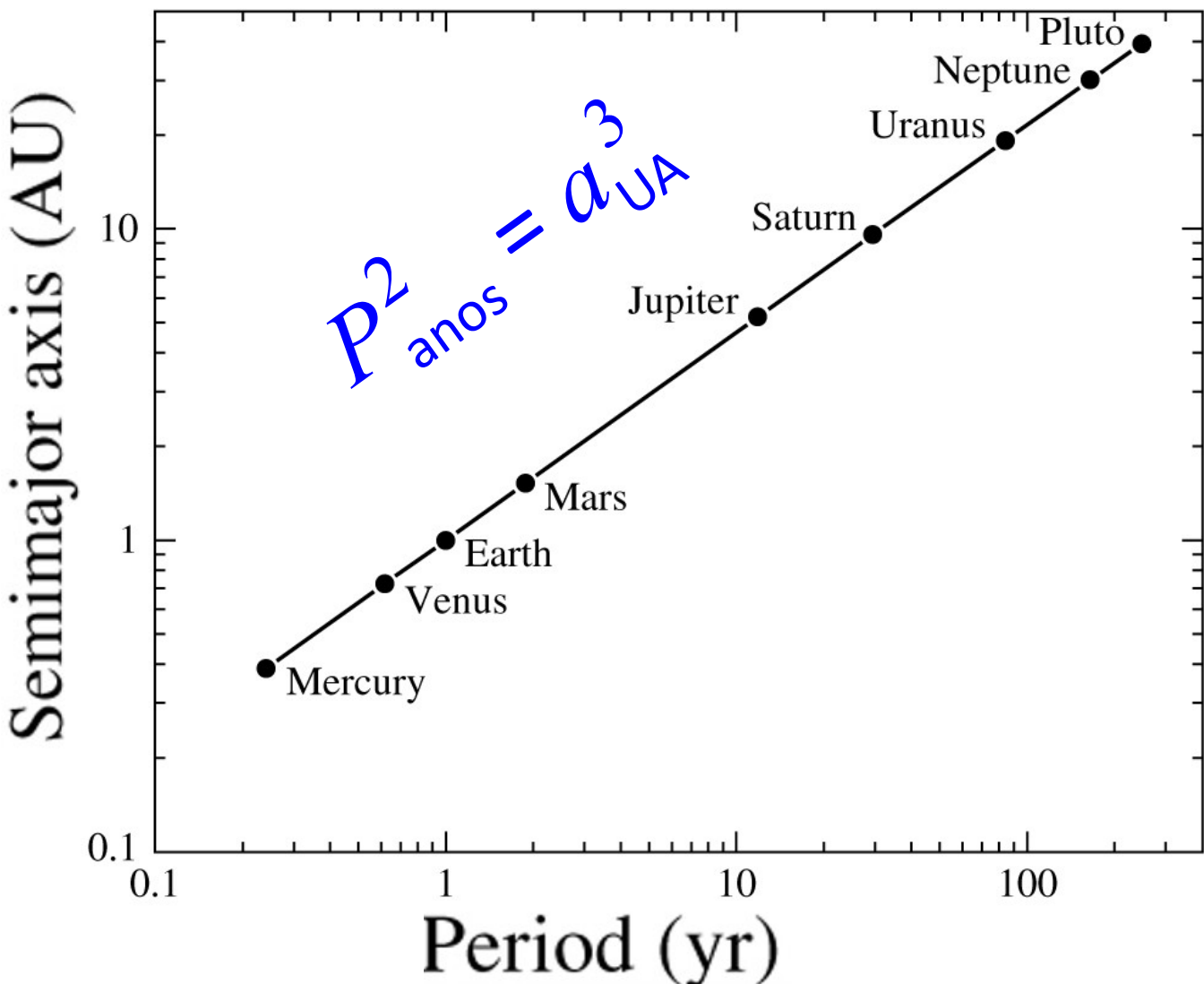
Periélio

Planeta move-se
mais lentamente
longe do Sol

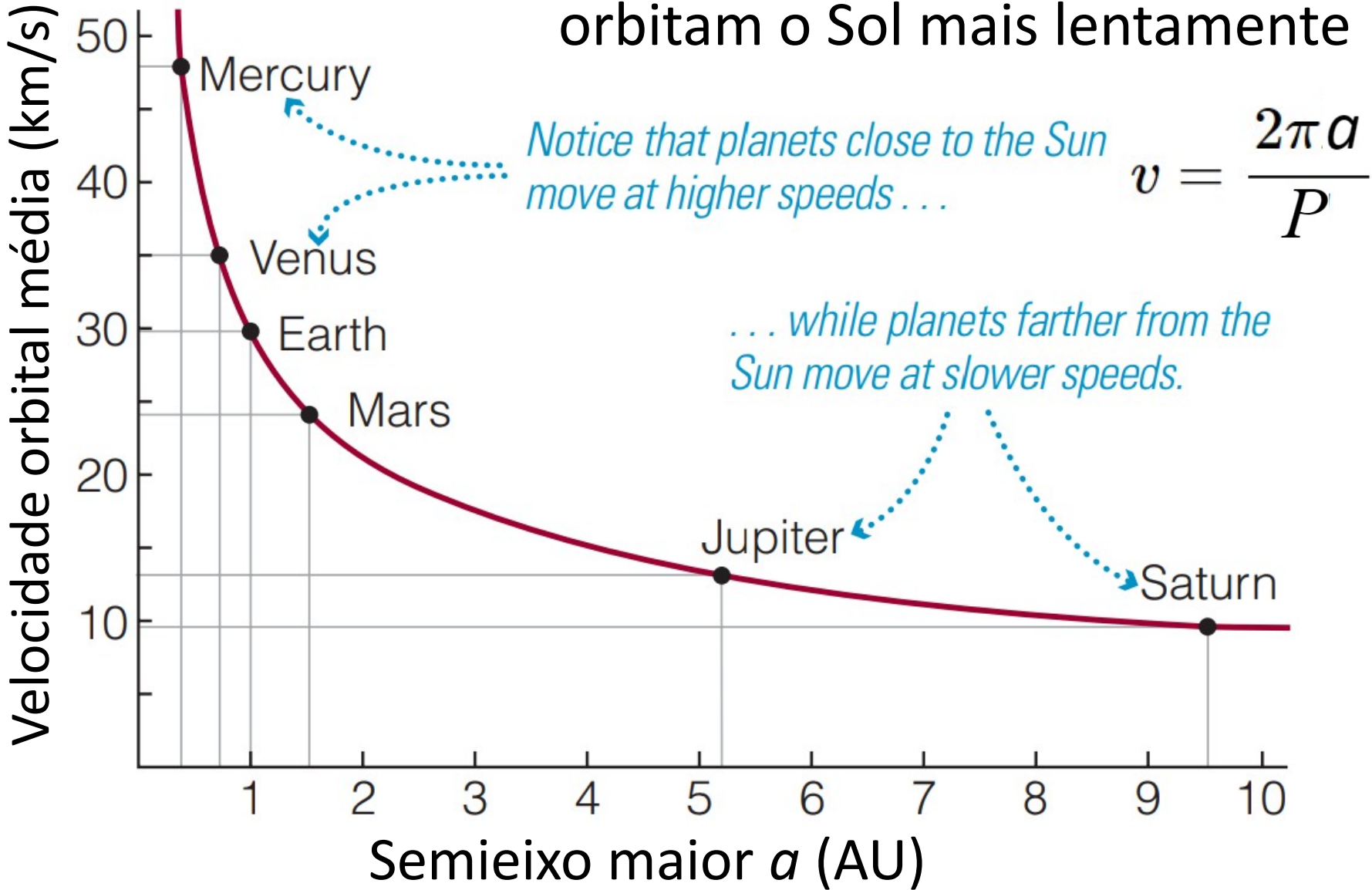
Afélio



3a lei de Kepler (1609): o quadrado do período orbital (em anos) é igual ao cubo do semieixo maior (em UA) da órbita



A 3a lei de Kepler implica que planetas mais distantes orbitam o Sol mais lentamente



Exemplo 1 de aplicação da 3a lei de Kepler

O maior asteróide, Ceres, orbita o Sol a uma distância média (semieixo maior) de 2,77 UA. Qual é o seu período orbital?

Podemos usar diretamente a 3a lei de Kepler, pois a distância orbital é dada em UA.

$$p^2 = a^3 \Rightarrow p = \sqrt{a^3} = \sqrt{2.77^3} = 4.6$$

Resposta: Ceres tem um período orbital de 4,6 anos.

Exemplo 2 de aplicação da 3a lei de Kepler

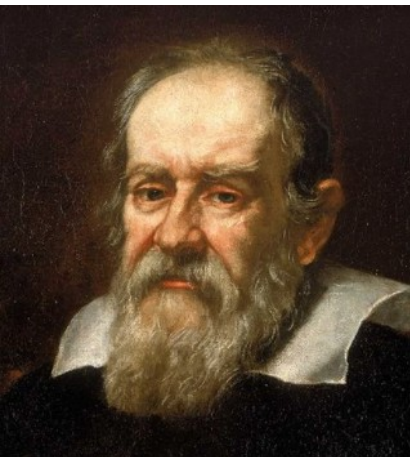
Um planeta é descoberto orbitando a cada 3 meses em torno de uma estrela com a mesma massa do nosso Sol. Qual é a distância orbital média do planeta?

O período está em meses. Primeiro precisamos transformar para anos: $P = 3 \text{ meses} = 0,25 \text{ ano}$. Agora aplicando a 3a lei para a distância média:

$$p^2 = a^3 \quad \Rightarrow \quad a = \sqrt[3]{p^2} = \sqrt[3]{0.25^2} = 0.40$$

Resposta: O planeta orbita sua estrela com $a = 0,40 \text{ UA}$, que é igual à distância média de Mercúrio ao Sol.

Galileu (1564-1642) consolidou a revolução copernicana



Uma 1a. objeção ao heliocentrismo era a antiga crença de Aristóteles, que a Terra não poderia estar se movendo porque objetos como pássaros e nuvens seriam deixados para trás.



Princípio de Inércia.

Galileu realizou diversos experimentos que derrubaram a visão aristotélica. Ele demonstrou que um objeto em movimento permanece em movimento, a menos que uma força aja para pará-lo (1a lei de Newton).

Isso explica por que objetos que compartilham o movimento da Terra através do espaço (como pássaros e nuvens) ficam com a Terra em vez de ficar para trás.

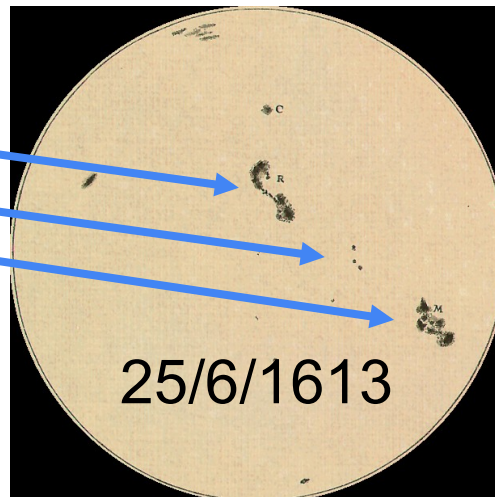
Galileu (1564-1642) consolidou a revolução copernicana



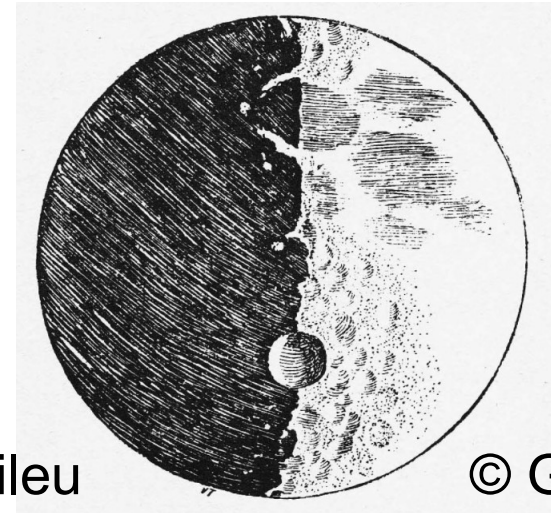
Uma 2a. objeção era que as órbitas não poderiam ser elípticas, pois segundo crença de Aristóteles, os céus - o reino do Sol, Lua, planetas e estrelas - devem ser perfeitos (circulares) e imutáveis.

Observações de ‘imperfeições’ usando o telescópio.

Se a Lua e o Sol não eram ‘perfeitos’ e imutáveis, talvez as órbitas planetárias não precisavam ser circulares



Sol
© Galileu



Lua
© Galileu

Galileu (1564-1642) consolidou a revolução copernicana

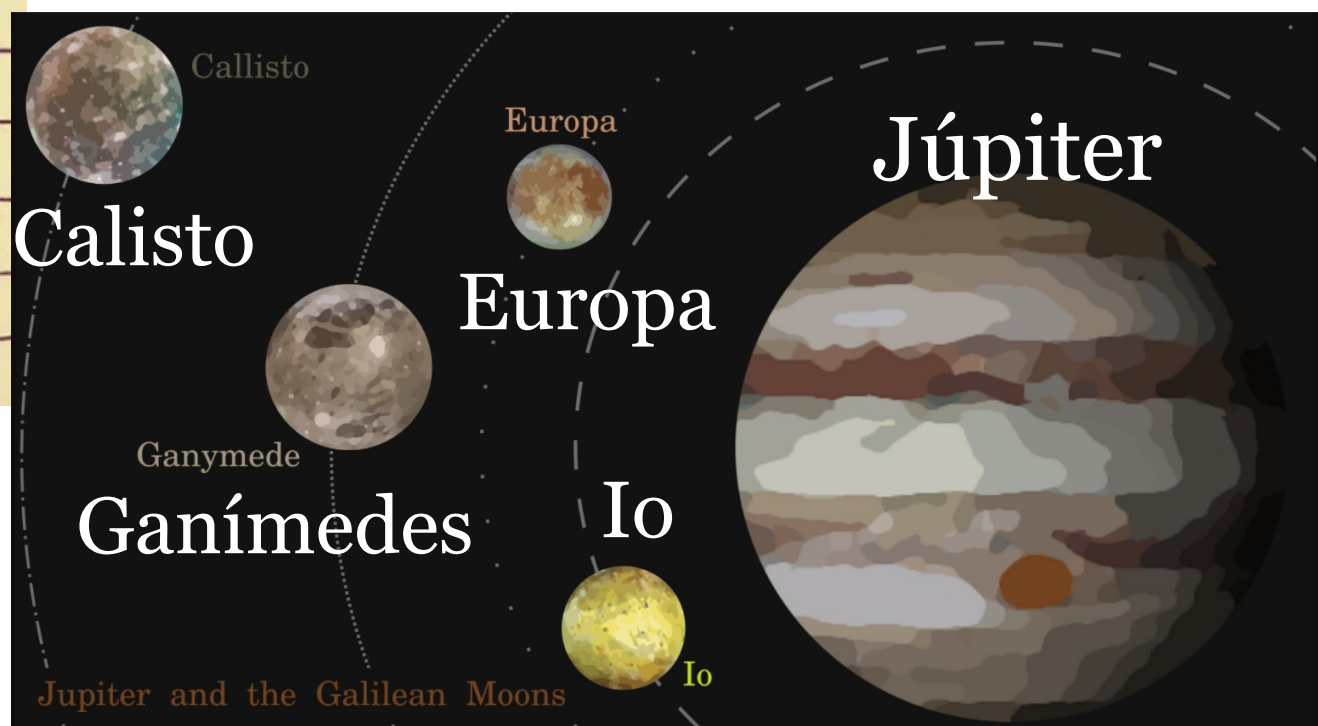
Observations Janvair 1610			
2. Janv.	O ***		
3. mons'	*** O *		
2. xbr:	O *** *		
3. mons'	O * *		
3. Ho. s.	* O *		
4. mons'	* O **		
6. mons'	** O *		
8. març H. 13.	* * * O		
10. mons'	* * * O *		
11.	* * O *		
12. H. 4 ney:	* O *		
12. mons'	* * O *		

Júpiter e 4 luas
© Galileu 1610

Outra observação fundamental de Galileu foi a de 4 luas orbitando Júpiter.

Golpe duro para o geocentrismo, que propunha que todos os corpos celestes orbitavam a Terra.

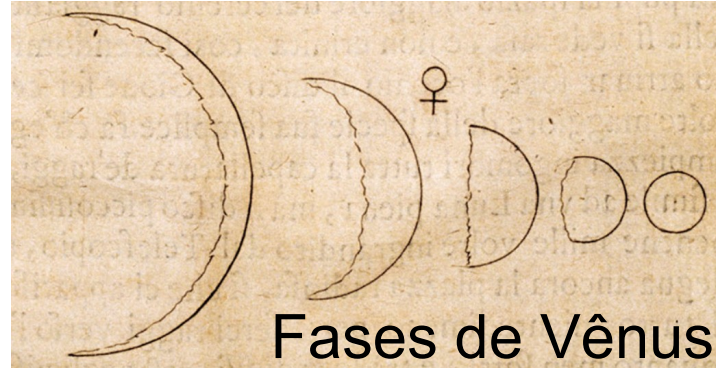
https://www.reddit.com/r/space/comments/jdfp5i/jupiter_and_the_galilean_moons/



Galileu (1564-1642) consolidou a revolução copernicana

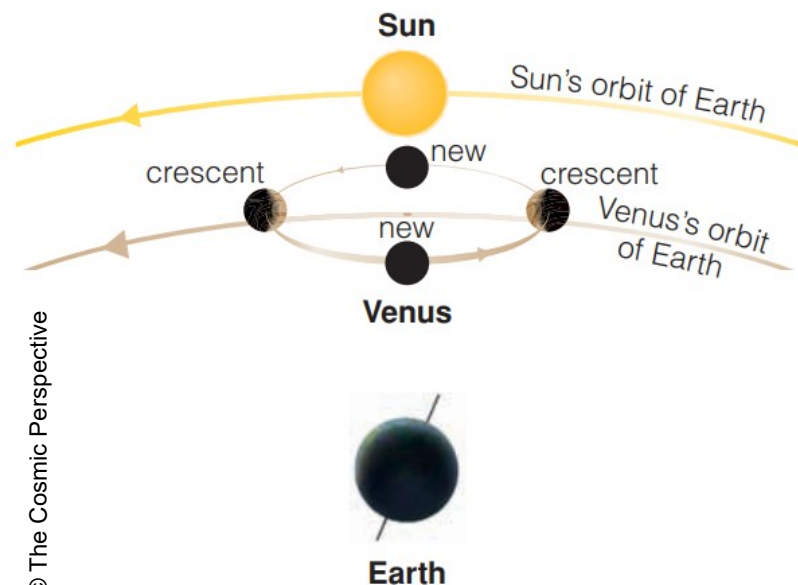


Galileu descobriu que Vênus apresenta todas as fases → orbita o Sol (heliocentrismo) e não a Terra.



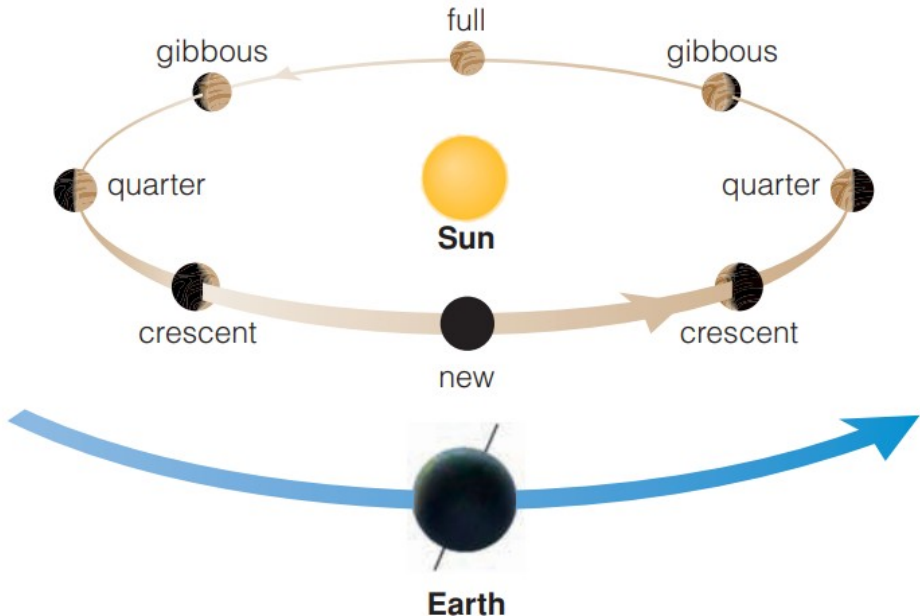
Fases de Vênus
© Galileu 1610-11

Visão geocêntrica de Vênus



© The Cosmic Perspective

Visão heliocêntrica de Vênus



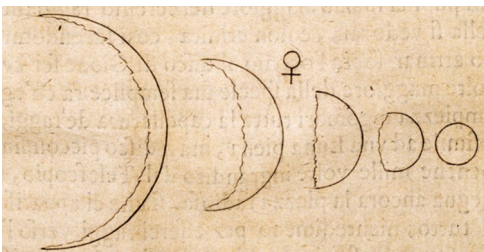
a In the Ptolemaic model, Venus orbits Earth, moving around a smaller circle on its larger orbital circle; the center of the smaller circle lies on the Earth-Sun line. If this view were correct, Venus's phases would range only from new to crescent.

b In reality, Venus orbits the Sun, so from Earth we can see it in many different phases. This is just what Galileo observed, allowing him to prove that Venus orbits the Sun.

Notar que Vênus não apenas apresenta fases, mas também tamanhos muito diferentes (crescente: próximo da Terra; cheia: lado oposto do Sol).

Fases de Vênus

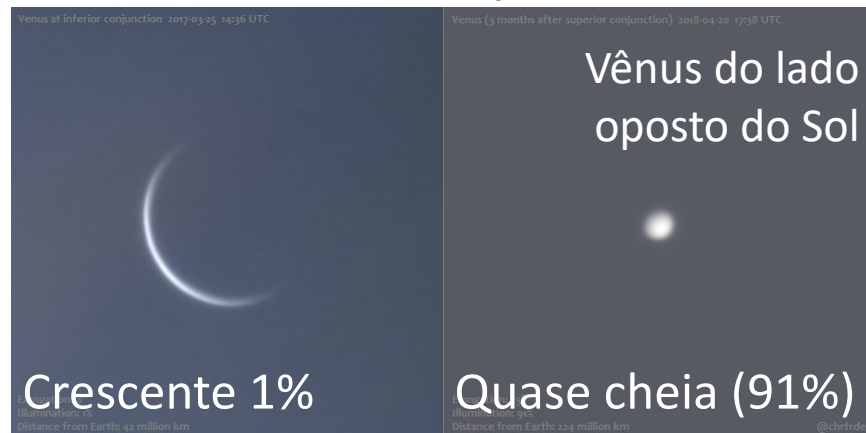
© Galileu 1610-11



Fase crescente

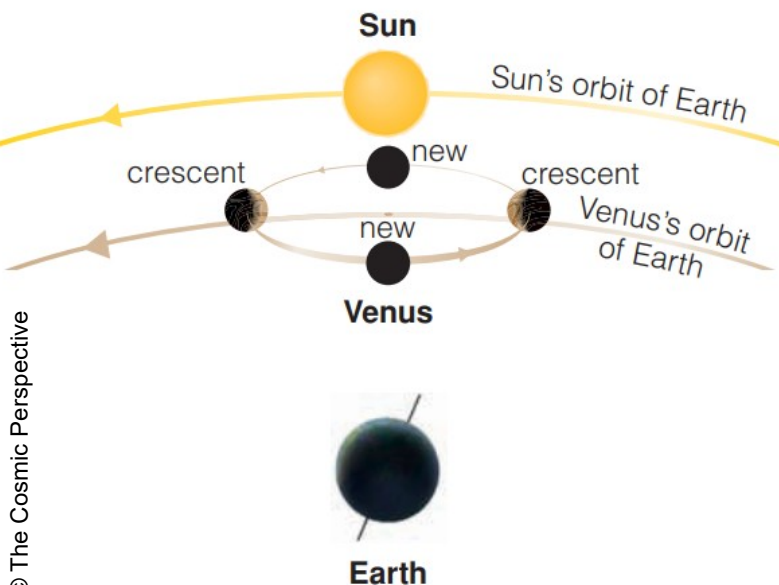
© Christian Fröschlin, 2017-18

Cheia



Vênus do lado oposto do Sol

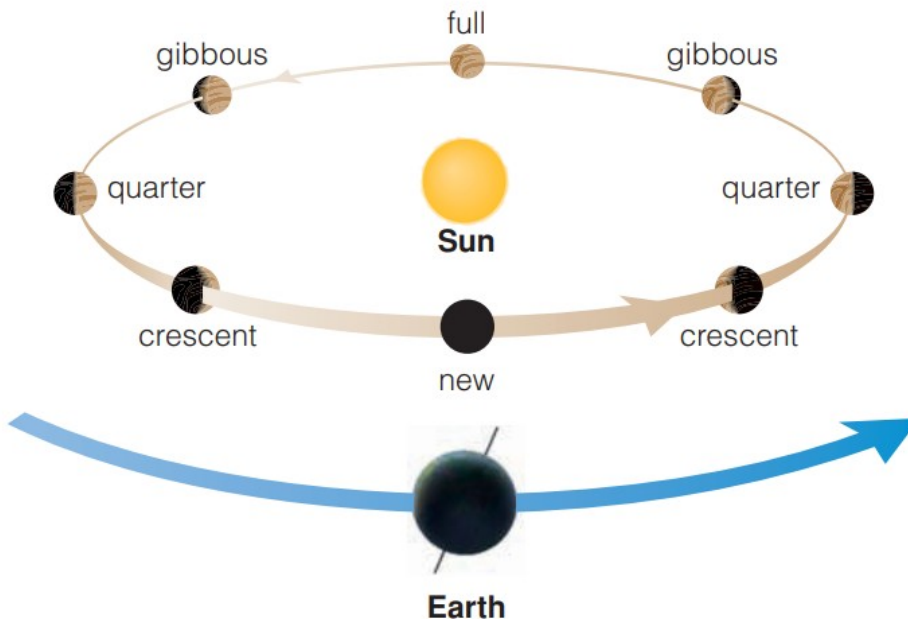
Visão geocêntrica de Vênus



© The Cosmic Perspective

a In the Ptolemaic model, Venus orbits Earth, moving around a smaller circle on its larger orbital circle; the center of the smaller circle lies on the Earth-Sun line. If this view were correct, Venus's phases would range only from new to crescent.

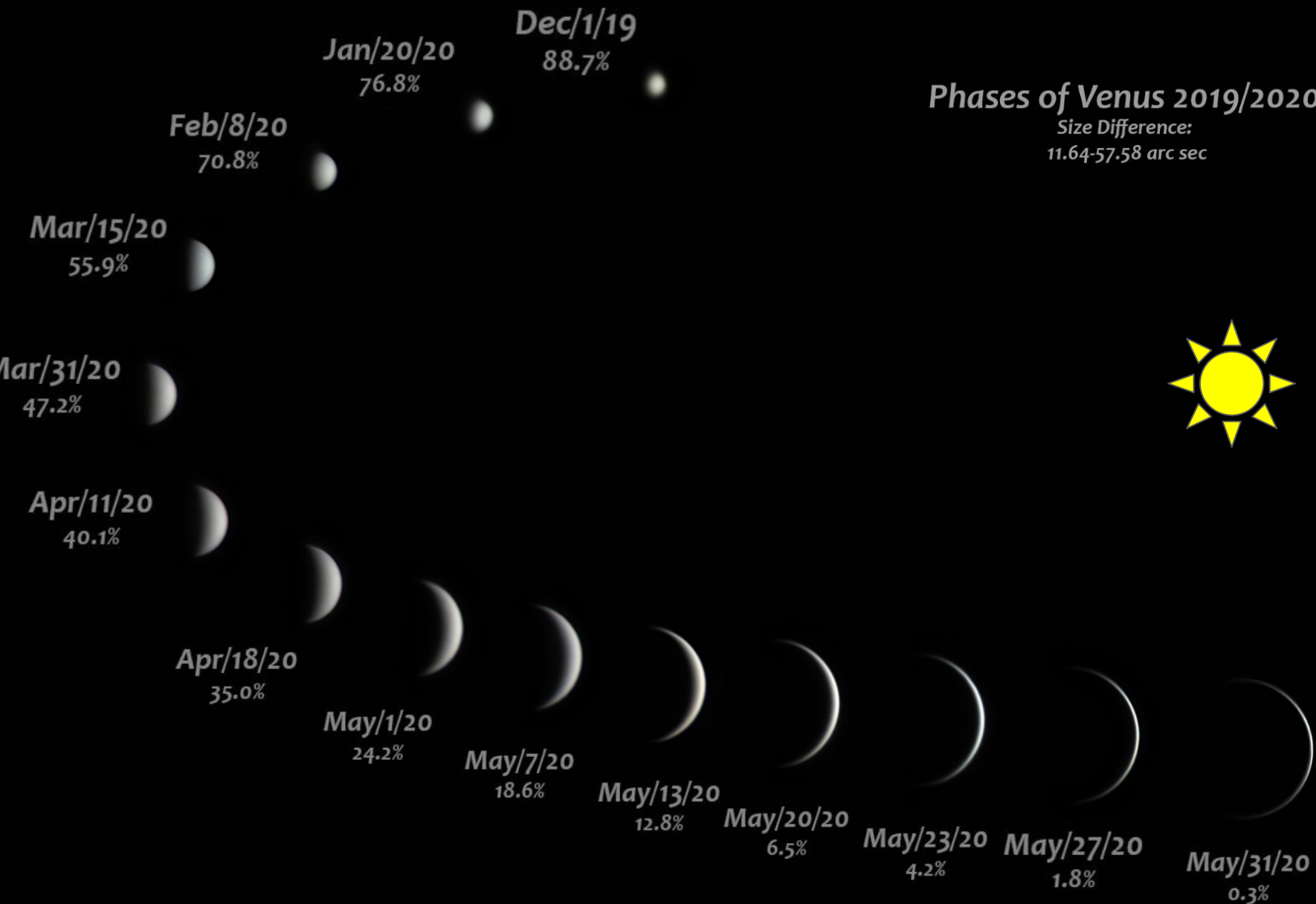
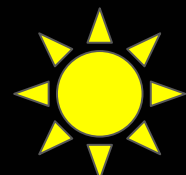
Visão heliocêntrica de Vênus

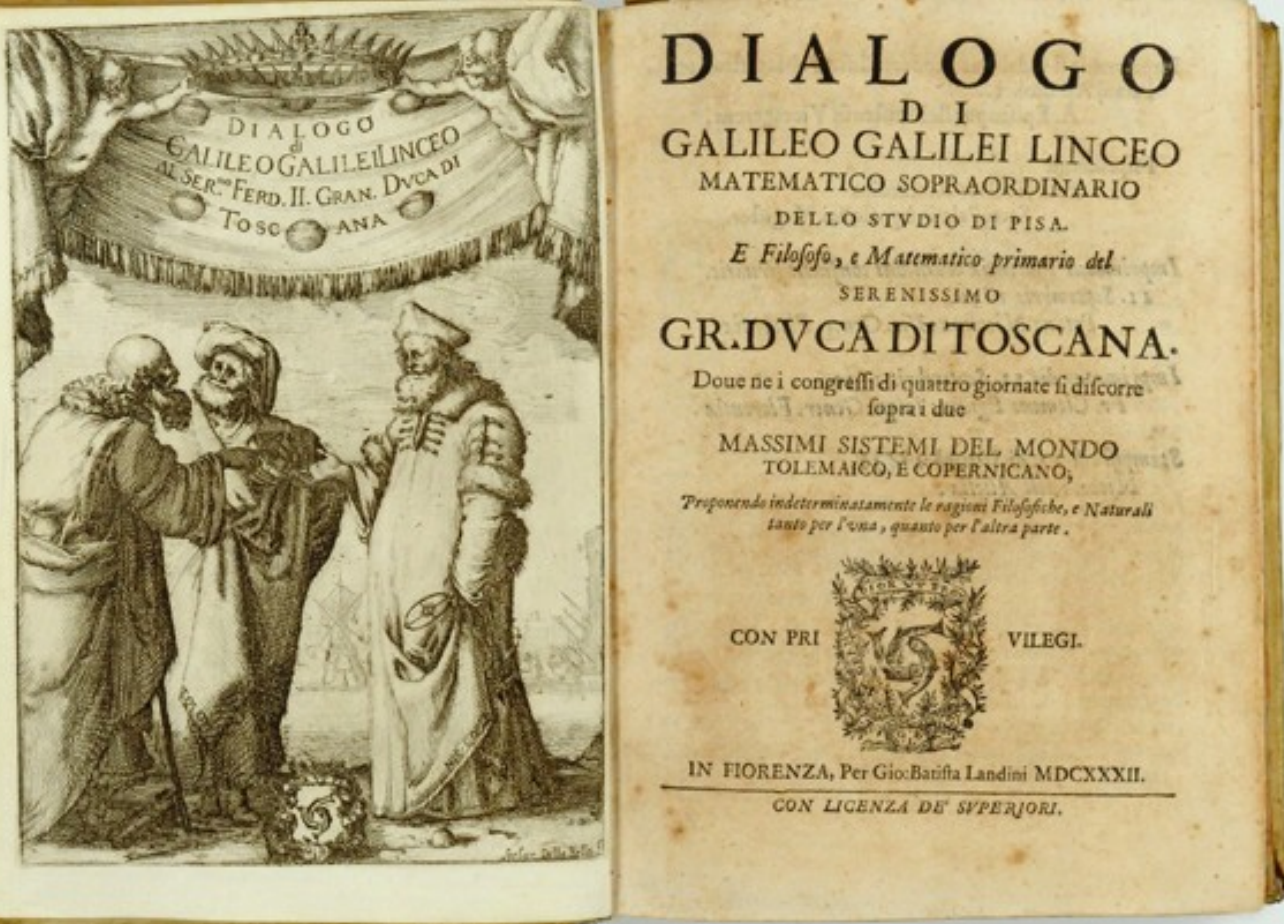


b In reality, Venus orbits the Sun, so from Earth we can see it in many different phases. This is just what Galileo observed, allowing him to prove that Venus orbits the Sun.

Phases of Venus 2019/2020

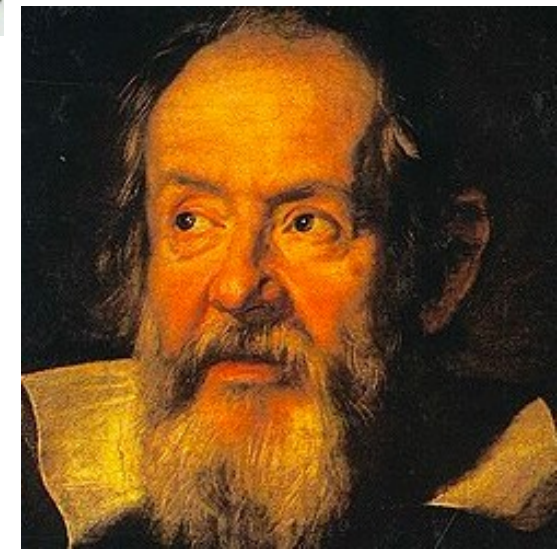
Size Difference:
11.64-57.58 arc sec





Com o intuito de divulgar as suas pesquisas, Galileu escreveu em italiano em vez de latim, para que seja acessível a pessoas comuns.

Galileu Galilei
5/feb/1564, Pisa – 8/jan/1642, Arcetri





Jorge Melendez @DrJorgeMelendez · Aug 3

Dois grandes cientistas injustiçados por defender o conhecimento científico: o renomado Físico Brasileiro Ricardo Galvão em 2019 e o grande cientista Italiano Galileu há 4 séculos

(c) Joseph-Nicolas Robert-Fleury

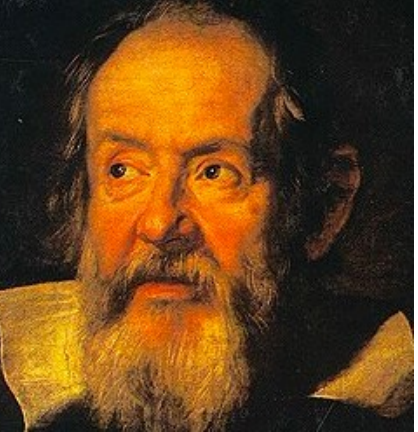


E pur si muove

Galileu diante do Inquérito, 1633



**Desmatamento da
amazônia
aumentou em 2019**
Ricardo Galvão, INPE, 2019



"Ao negar princípios científicos, pode-se manter qualquer absurdo."

Galileu Galilei



© Estadão

"Sempre que os cientistas recuaram não foi bom para a humanidade."

Físico Ricardo Galvão, Professor do IF-USP e ex-diretor do INPE

Newton (1643 – 1727):
Gravitação universal

$$F_g = G \frac{m_1 m_2}{r^2}$$

NEWTONIAN

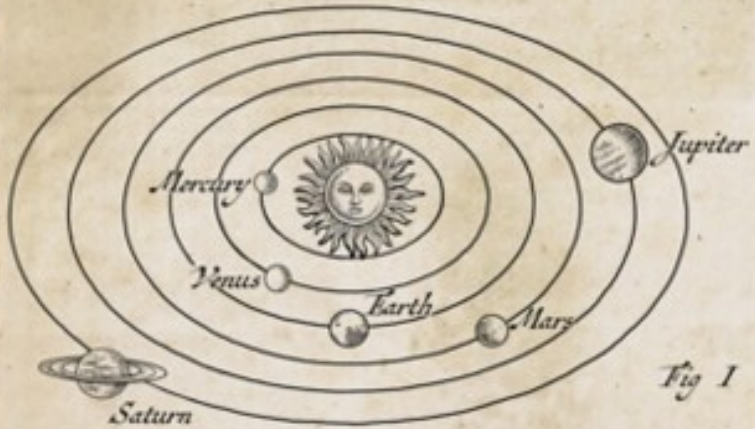


Fig. I

René Descartes (1596 – 1650): teoria
de vórtices giratórios de éter invisível

CARTESIAN

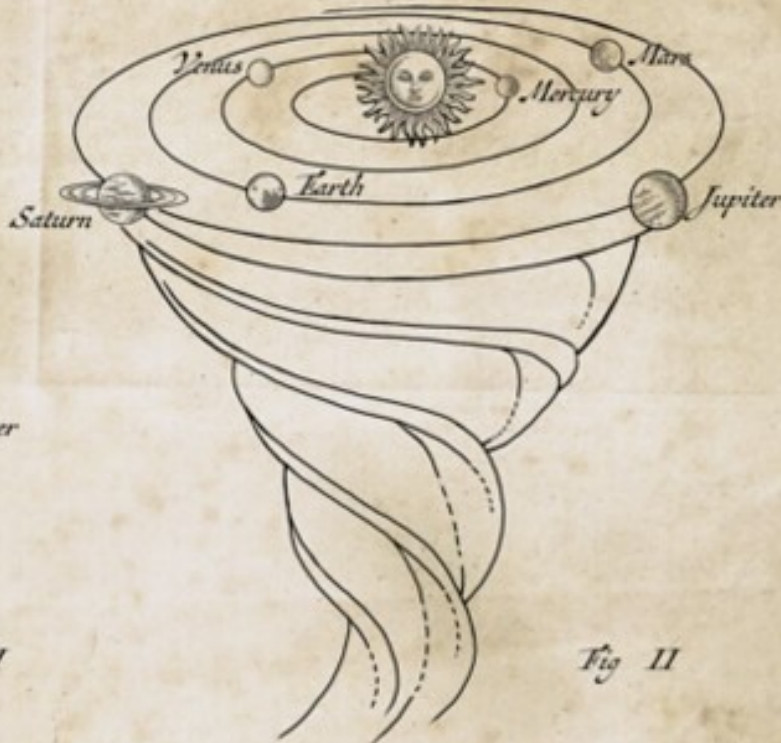
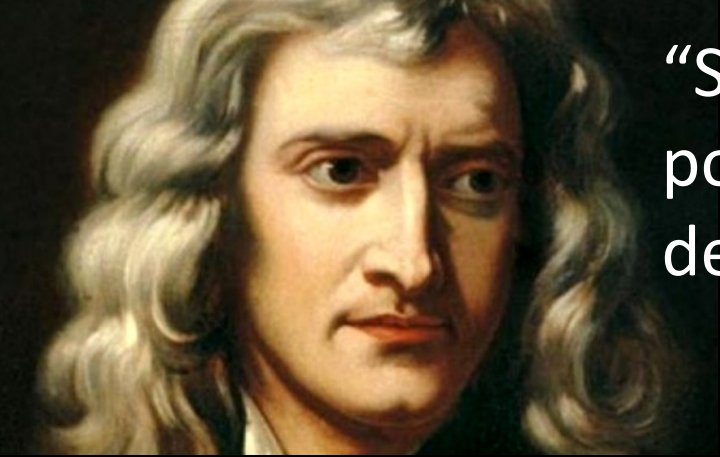


Fig. II

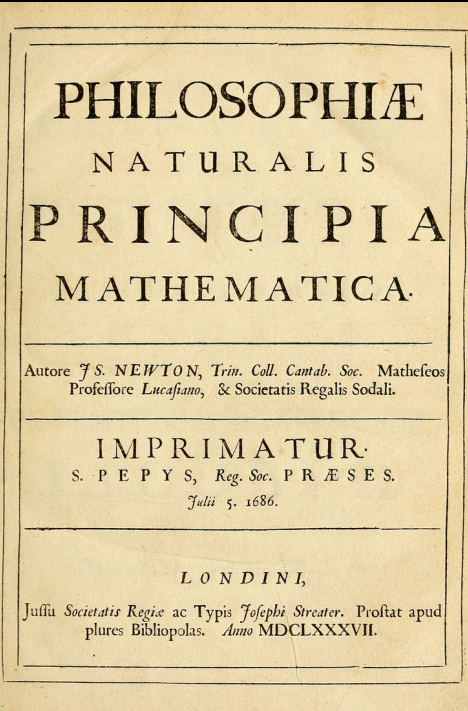


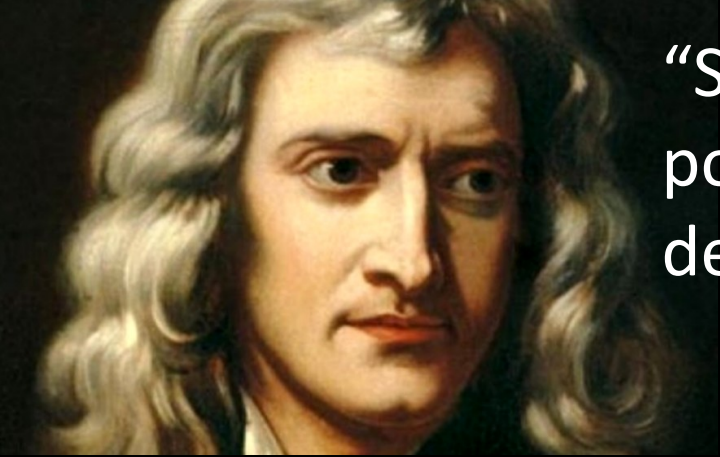
“Se eu vi mais longe, foi
por estar sobre ombros
de gigantes”

$$F_g = \frac{Gm_1 m_2}{r^2}$$

Newton (1643 - 1727)

1687 (1^a ed.), 1713 (2^a), 1726 (3^a)
1^a edição em Inglês: 1728





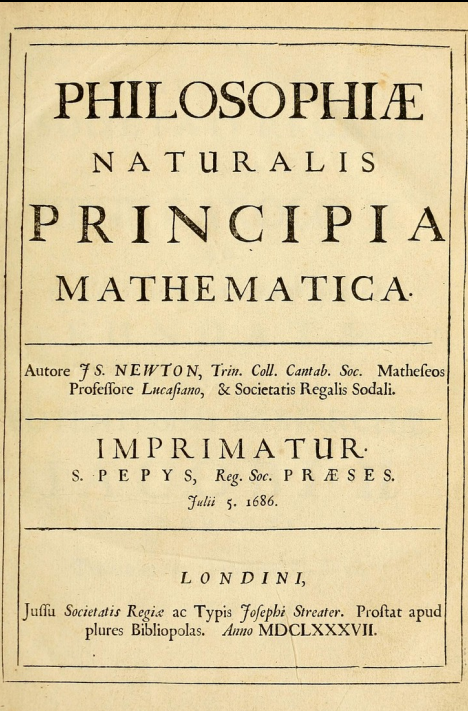
“Se eu vi mais longe, foi
por estar sobre ombros
de gigantes”

Newton (1643 - 1727)

$$F_g = \frac{Gm_1 m_2}{r^2}$$

1687 (1^a ed.), 1713 (2^a), 1726 (3^a)

1^a edição em Inglês: 1728



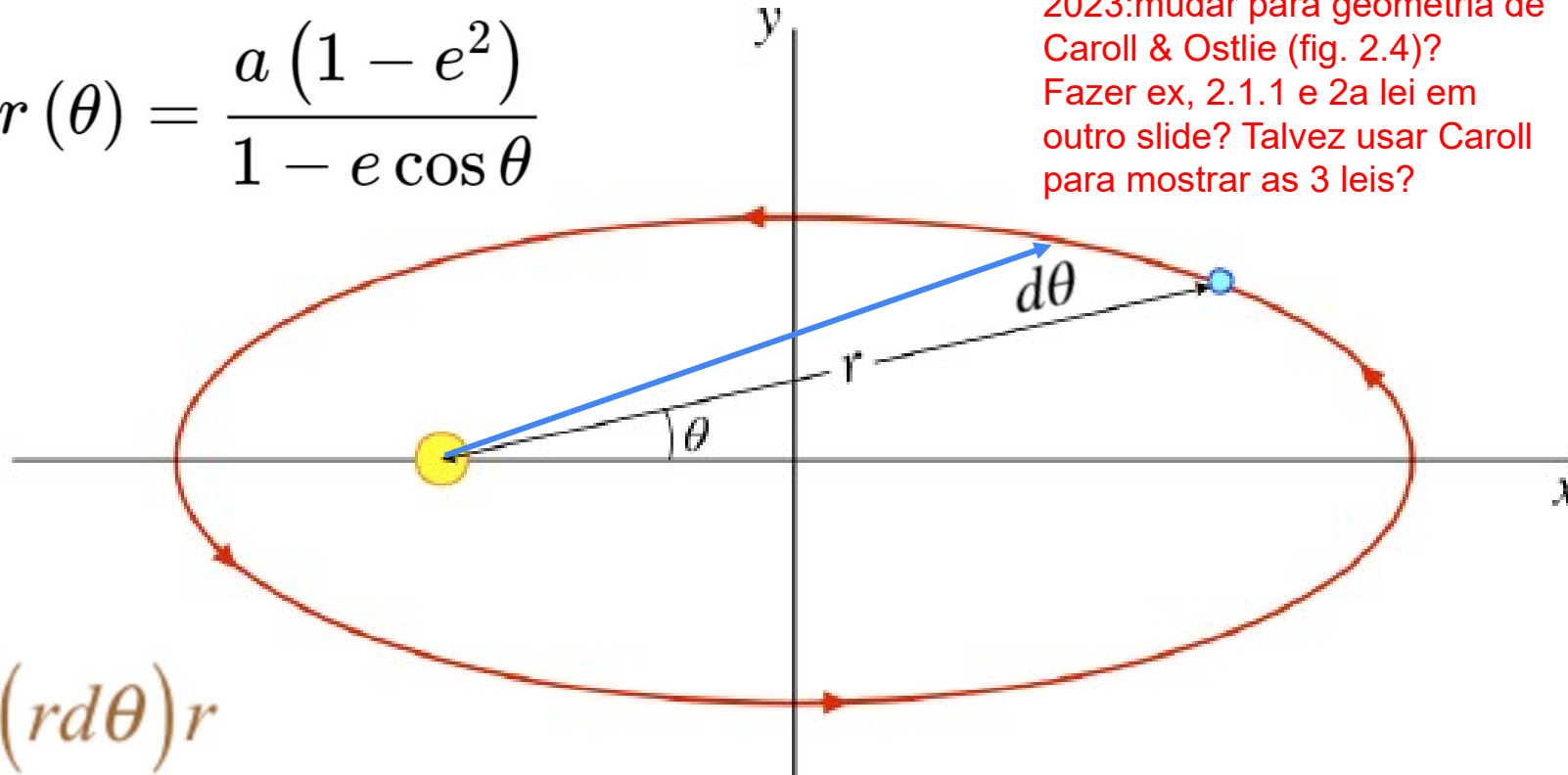
Émilie du Châtelet (1706 – 1749)

1740: divulgou a obra de Newton
1745 – 1749: tradução do Principia para
francês a partir do latim, até o dia da
sua morte. Foi como uma “4^a edição”
melhorada e com o jeito moderno de
ensinar, com derivadas e integrais

Representação matemática (Newton) das leis de Kepler

$$1a \text{ lei: } r(\theta) = \frac{a(1-e^2)}{1-e\cos\theta}$$

2023:mudar para geometria de
Caroll & Ostlie (fig. 2.4)?
Fazer ex. 2.1.1 e 2a lei em
outro slide? Talvez usar Caroll
para mostrar as 3 leis?



2a lei:

$$dA = \frac{1}{2}(rd\theta)r$$

$$\frac{dA}{dt} = \frac{1}{2}r^2 \frac{d\theta}{dt} = \frac{1}{2}r^2 \omega = \frac{mr^2\omega}{2m} = \frac{L}{2m} = \text{constante}$$

(conservação do
momento angular L)

Representação matemática (Newton) das leis de Kepler

3a lei (órbita circular):

$$v = \frac{2\pi R}{P}$$

Força gravidade = Força centrípeta

$$\frac{GMm}{R^2} = m \frac{v^2}{R} \Rightarrow v^2 = \frac{GM}{R}$$

$$\left(\frac{2\pi R}{P} \right)^2 = \frac{GM}{R} \Rightarrow \frac{R^3}{P^2} = \frac{GM}{4\pi^2} = \text{constante}$$

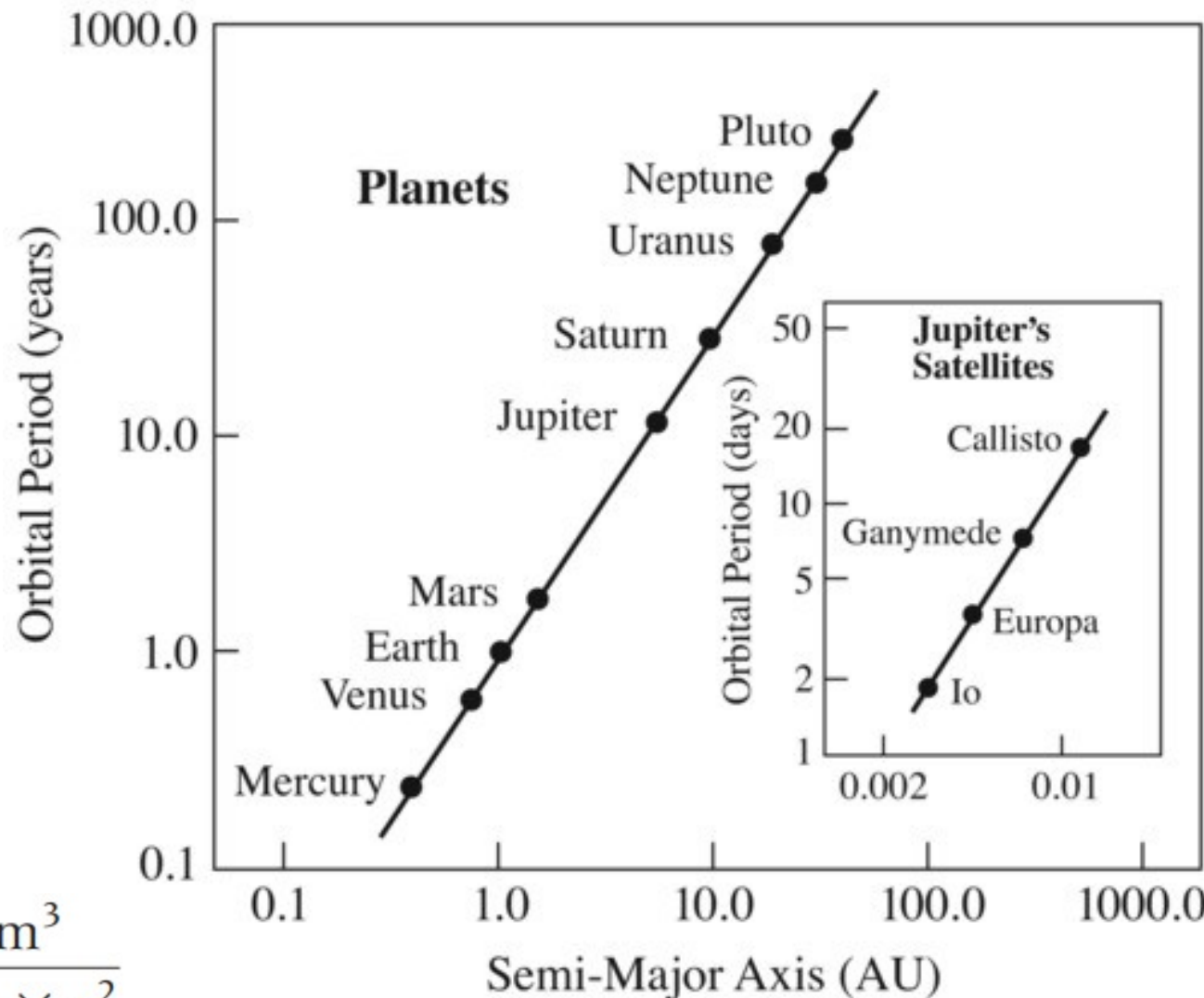
$$G = 6.67 \times 10^{-11} \frac{\text{m}^3}{\text{kg} \times \text{s}^2} \quad (\text{constante gravitacional})$$

Forma geral da 3a lei de Kepler segundo Newton:

$$\frac{a^3}{P^2} = \frac{G(M+m)}{4\pi^2} \approx \frac{GM}{4\pi^2}$$

A 3a lei de Kepler pode ser aplicada a outros corpos, por exemplo para os satélites de Júpiter, usando $M = M_{Júpiter}$

$$G = 6.67 \times 10^{-11} \frac{\text{m}^3}{\text{kg} \times \text{s}^2}$$



Exemplo. Calcule a massa do Sol sabendo que a Terra orbita o Sol em 1 ano a uma distância média de 1 UA.

Versão de Newton
da 3a lei de Kepler:

$$p^2 = \frac{4\pi^2}{G(M_1 + M_2)} a^3$$

Para a Terra e Sol:

$$p_{\text{Earth}}^2 = \frac{4\pi^2}{G(M_{\text{Sun}} + M_{\text{Earth}})} a_{\text{Earth}}^3$$

$$M_{\text{Terra}} + M_{\text{Sol}} \sim M_{\text{Sol}} \rightarrow p_{\text{Earth}}^2 \approx \frac{4\pi^2}{GM_{\text{Sun}}} a_{\text{Earth}}^3$$

$$M_{\text{Sun}} \approx \frac{4\pi^2 a_{\text{Earth}}^3}{G p_{\text{Earth}}^2} \approx \frac{4\pi^2 (1.5 \times 10^{11} \text{ m})^3}{\left(6.67 \times 10^{-11} \frac{\text{m}^3}{\text{kg} \times \text{s}^2}\right) (3.15 \times 10^7 \text{ s})^2} = 2.0 \times 10^{30} \text{ kg}$$

$$\begin{aligned} p_{\text{Earth}} &= 1 \text{ year} \approx 3.15 \times 10^7 \text{ s} \\ a_{\text{Earth}} &= 1 \text{ AU} \approx 1.5 \times 10^{11} \text{ m} \end{aligned}$$

Rpta: $M_{\text{Sol}} = 2 \times 10^{30} \text{ kg}$

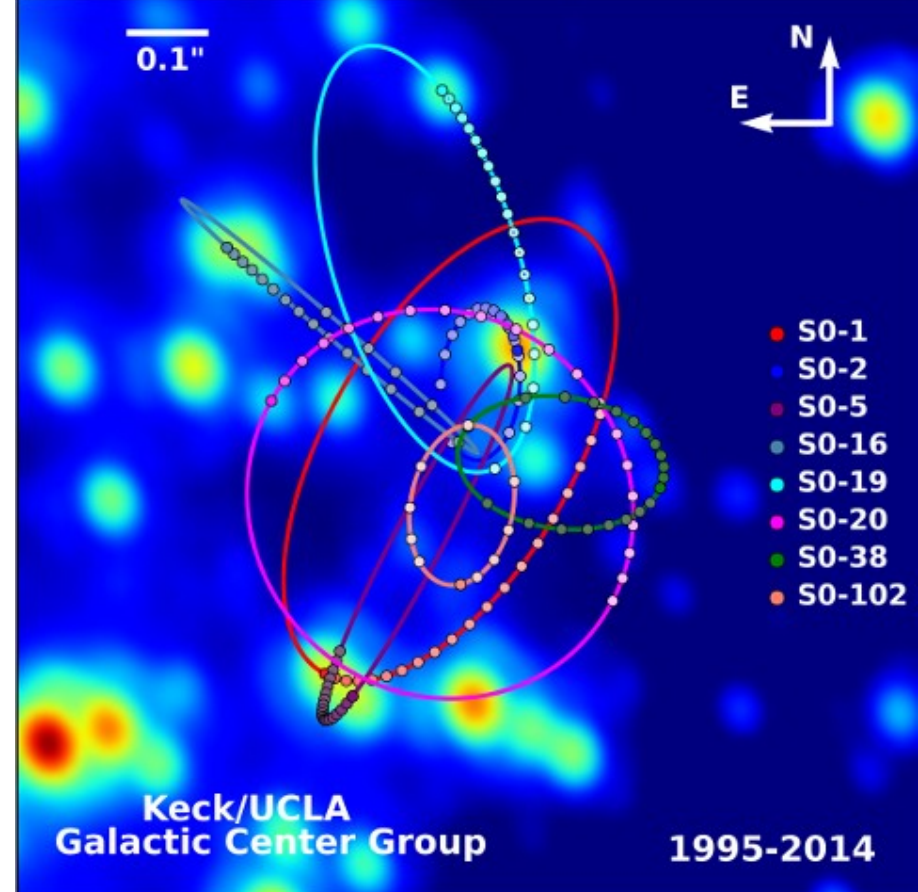
Exemplo. Calcule a massa do buraco negro supermassivo no centro de nossa galáxia, sabendo que a estrela SO-2 tem $a = 919$ UA e $P = 14,53$ anos

Podemos desprezar a massa da estrela:

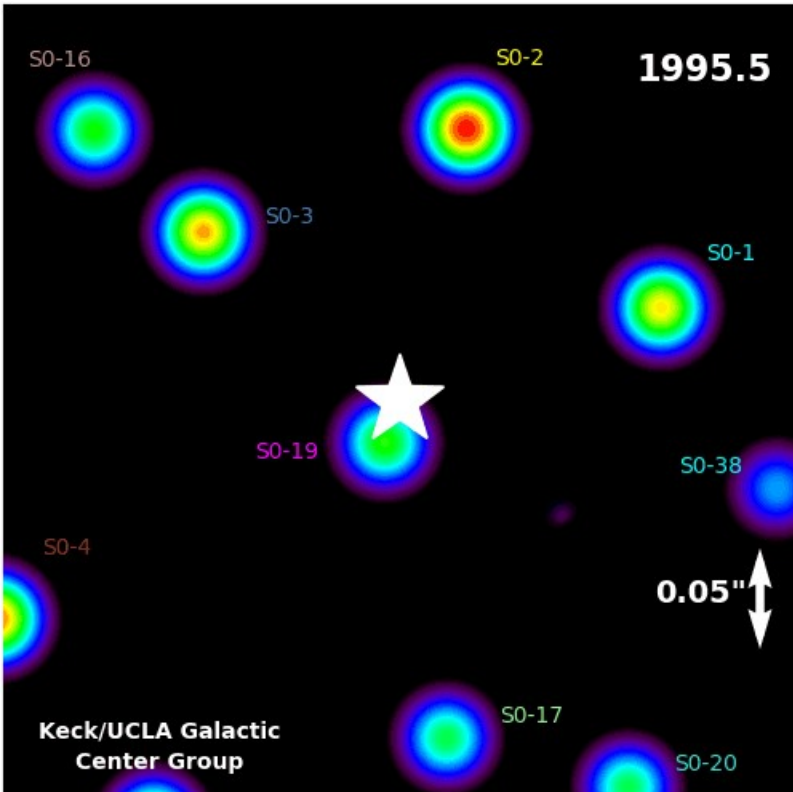
$$M = \frac{4\pi^2 a^3}{GP^2}$$

$$M = \frac{4\pi^2 \times (919 \times 1.50 \times 10^{11} \text{ m})^3}{(6.67 \times 10^{-11} \text{ m}^3 \text{ kg}^{-1} \text{ s}^{-2}) \times (14.53 \times 3.16 \times 10^7 \text{ s})^2}$$

$$= 7.3 \times 10^{36} \text{ kg} = 3.7 \times 10^6 M_\odot$$



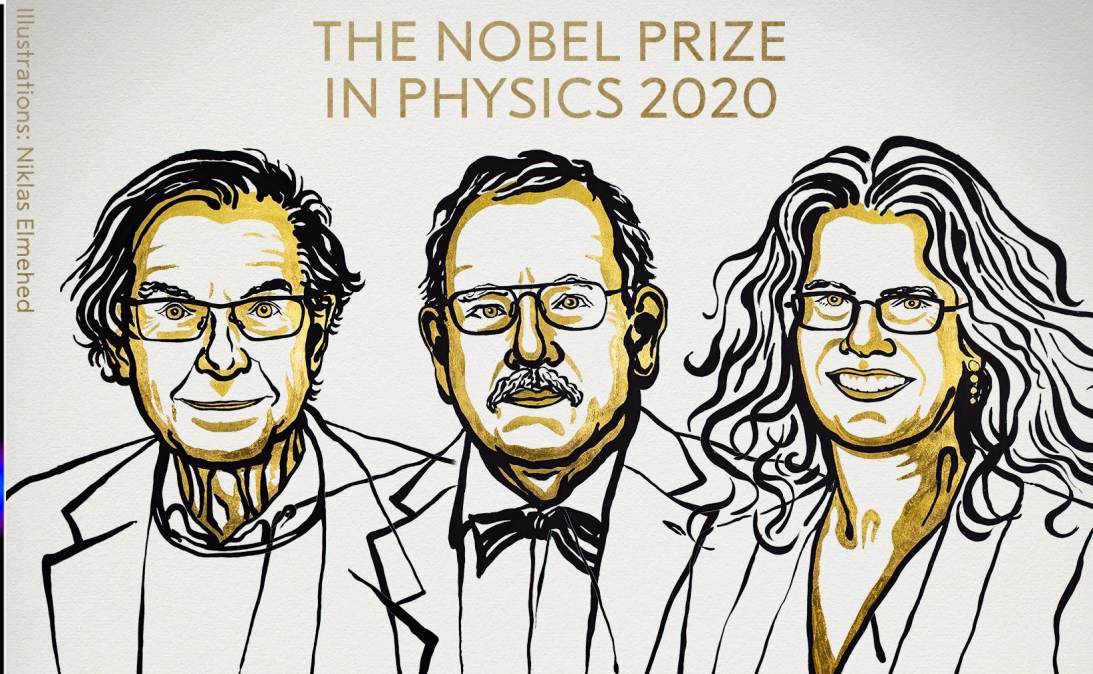
Rpta: 4 milhões de vezes a massa do Sol !



Estrelas orbitando o centro da Galáxia, usando observações do telescópio Keck pelo grupo da Profa. Andrea Ghez



Pelo estudo do buraco negro supermassivo no centro de nossa galáxia, a Profa. Andrea recebeu o Nobel de Física em 2020



Roger Penrose

"for the discovery that black hole formation is a robust prediction of the general theory of relativity"

Reinhard Genzel

"for the discovery of a supermassive compact object at the centre of our galaxy"

Andrea Ghez

THE ROYAL SWEDISH ACADEMY OF SCIENCES

Conservação de energia

Energia total = E. cinética + E. potencial

Émilie du Châtelet
 $E \sim mv^2$ (Newton sugeriu $E \sim mv$)



$$E = E_C(r) + E_P(r) = \frac{mv^2}{2} + \left(-\frac{mMG}{r} \right)$$

Corpo não ligado para $E = 0 \rightarrow E_C(r) = -E_P(r)$

Velocidade de escape v_e :

$$0 = \frac{mv^2}{2} + \left(-\frac{mMG}{r} \right) \rightarrow \frac{v^2}{2} = \left(\frac{MG}{r} \right) \Rightarrow v_e = \sqrt{\frac{2MG}{r}}$$

Hipérbole

$VL > V_e$

Parábola

$VL = V_e$

Elipse

$VL < V_e$

VL = velocidade de lançamento

V_e = velocidade de escape

$$V_e = \sqrt{\frac{2MG}{r}}$$

$0 \leq e < 1$ (elipse) $\Rightarrow E < 0$

(corpo gravitacionalmente preso)

$e = 1$ (parábola) $\Rightarrow E = 0$

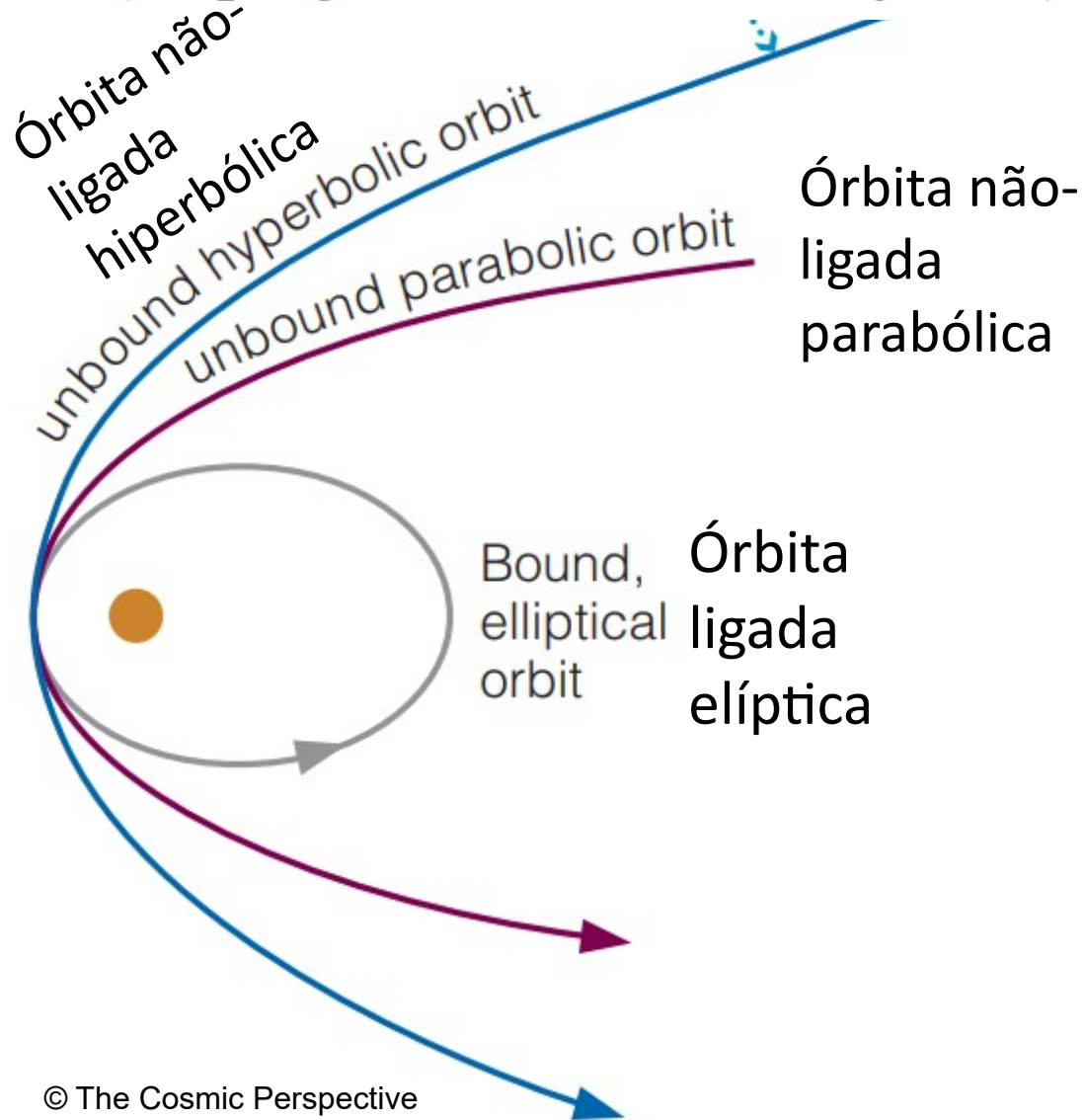
(corpo gravitacionalmente solto)

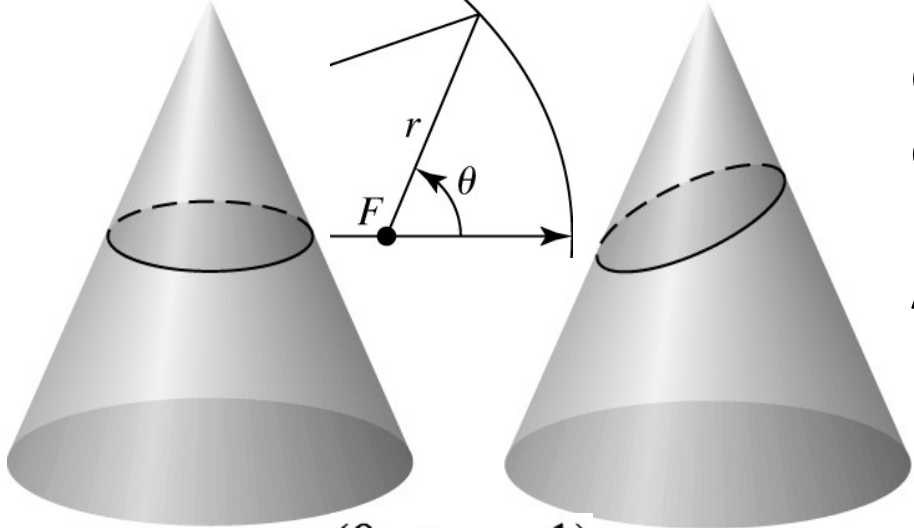
$e > 1$ (hipérbole) $\Rightarrow E > 0$

(corpo gravitacionalmente ejetado)

$$E = E_C(r) + E_P(r)$$

Newton mostrou que a órbita elíptica de Kepler é apenas uma das possibilidades.



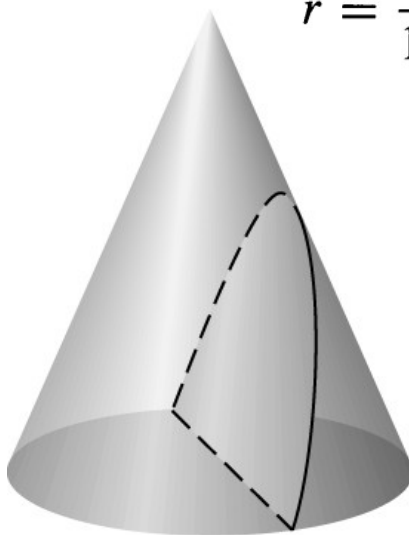


Circle

$$(0 \leq e < 1)$$

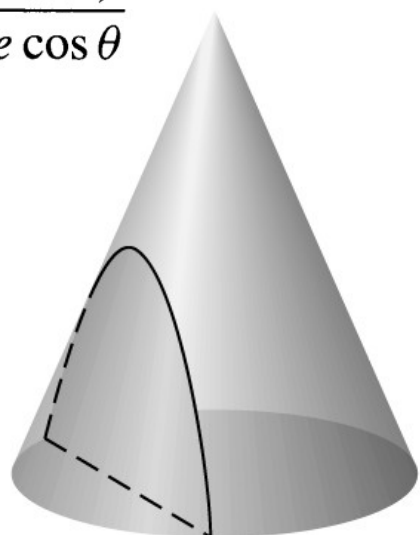
$$r = \frac{a(1 - e^2)}{1 + e \cos \theta}$$

Ellipse



Parabola ($e = 1$)

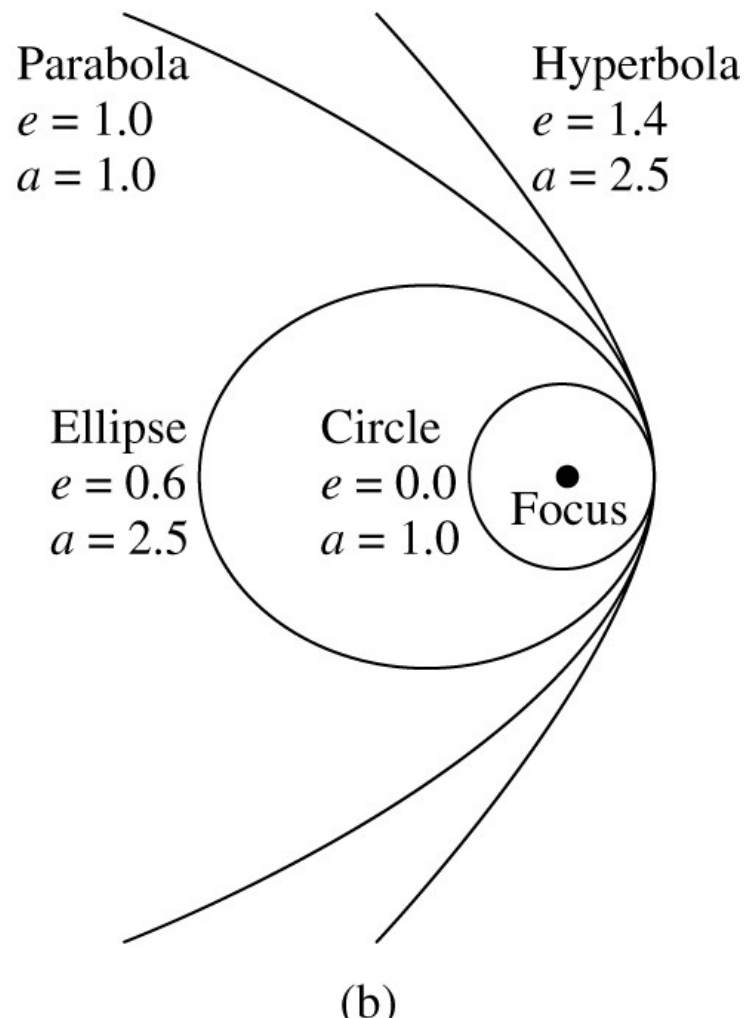
$$r = \frac{2p}{1 + \cos \theta} \quad (\text{a})$$



Hyperbola ($e > 1$)

$$r = \frac{a(e^2 - 1)}{1 + e \cos \theta}$$

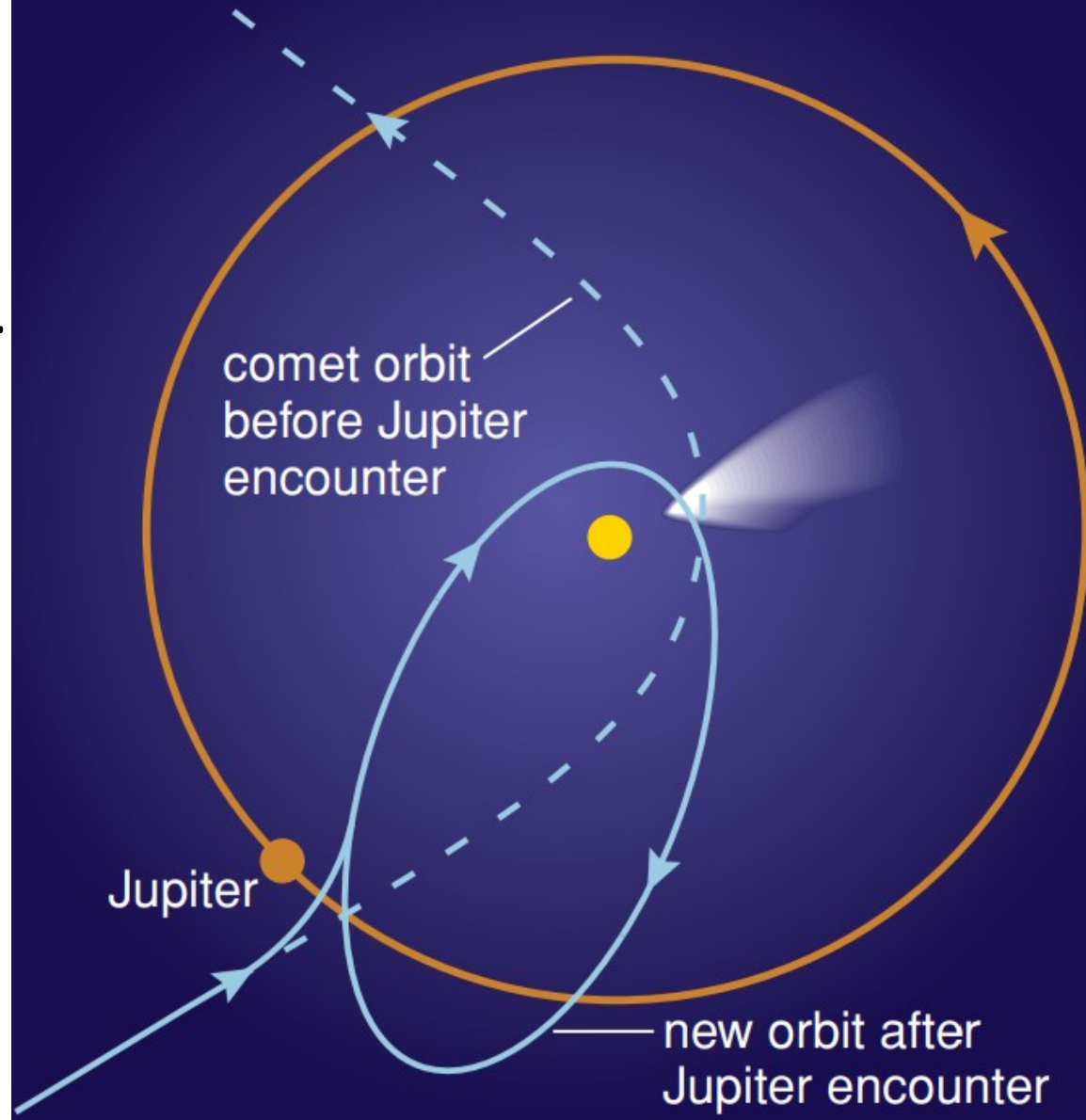
Círculo, elipse, hipérbole e parábola são cônicas (secções cônicas), obtidas pela intersecção de um plano com um cone. A curva depende da inclinação do plano.



Órbitas podem mudar via intercâmbios de energia durante encontros gravitacionais.

Por exemplo, a figura mostra um cometa em direção ao Sol em uma órbita não ligada. A passagem do cometa perto de Júpiter permite que o cometa e Júpiter troquem energia.

O cometa perde tanta energia orbital que sua órbita muda de não-ligada para ligada (elíptica). Júpiter ganha a energia que o cometa perde, mas o efeito é imperceptível por causa de sua maior massa.



Problema dos 3 corpos: estudar as órbitas de 3 corpos sujeitos a interações gravitacionais entre eles

Segundo Newton, para 2 corpos de massa m e M separados por uma distância r :

$$\vec{F} = m\vec{a} = -\frac{GMm}{r^2}\hat{r}$$

$$\vec{a} = \ddot{\vec{r}} \quad \xrightarrow{\text{ }} \quad \ddot{\vec{r}} = -\frac{GM}{r^2}\hat{r}$$

$$G = 6.67 \times 10^{-11} \frac{\text{m}^3}{\text{kg} \times \text{s}^2} \quad (\text{constante gravitacional universal})$$

Problema dos 3 corpos

Equações que descrevem o movimento de 3 corpos de massas m_1 , m_2 e m_3 , com vetores de posição e aceleração \vec{r}_i e $\ddot{\vec{r}}_i$

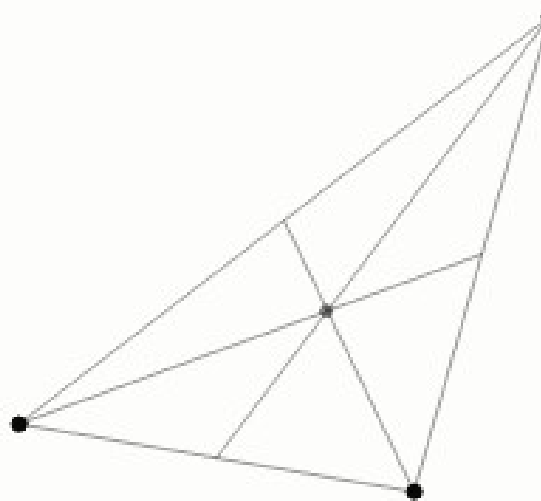
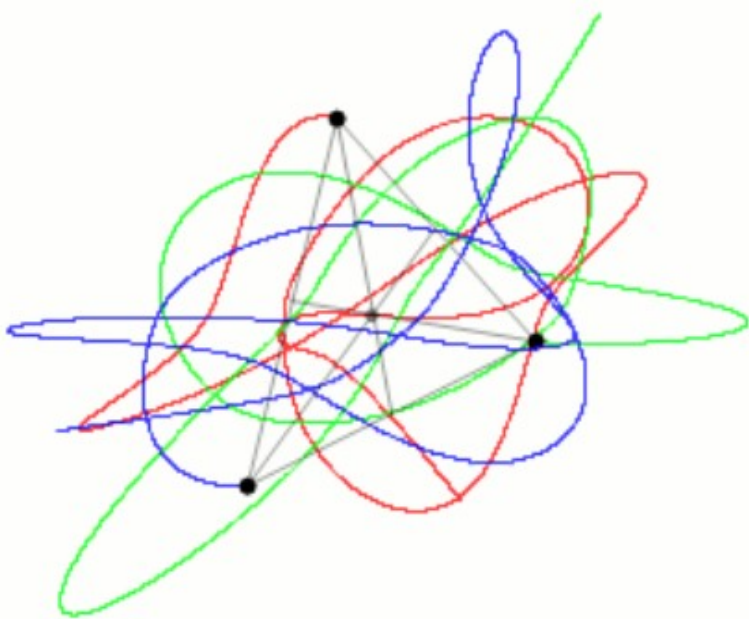
$$\frac{d^2\vec{r}_1}{dt^2} = -Gm_2 \frac{\vec{r}_1 - \vec{r}_2}{|\vec{r}_1 - \vec{r}_2|^3} - Gm_3 \frac{\vec{r}_1 - \vec{r}_3}{|\vec{r}_1 - \vec{r}_3|^3},$$

$$\frac{d^2\vec{r}_2}{dt^2} = -Gm_3 \frac{\vec{r}_2 - \vec{r}_3}{|\vec{r}_2 - \vec{r}_3|^3} - Gm_1 \frac{\vec{r}_2 - \vec{r}_1}{|\vec{r}_2 - \vec{r}_1|^3}$$

$$\frac{d^2\vec{r}_3}{dt^2} = -Gm_1 \frac{\vec{r}_3 - \vec{r}_1}{|\vec{r}_3 - \vec{r}_1|^3} - Gm_2 \frac{\vec{r}_3 - \vec{r}_2}{|\vec{r}_3 - \vec{r}_2|^3}.$$

Problema dos 3 corpos

No geral é muito difícil de ser resolvido analiticamente, especialmente quando as massas dos 3 corpos são similares.



Trajetórias de três corpos idênticos localizados nos vértices de um triângulo escaleno e com velocidade inicial zero. O centro de massa permanece no local.

Problema dos 3 corpos: simplificações

1. A massa do terceiro corpo (m_3) é considerada nula comparada às outras duas massas
2. Órbitas circulares para as primárias
3. Terceiro corpo se move no plano orbital das primárias

$$\frac{d^2\vec{r}_1}{dt^2} = -Gm_2 \frac{\vec{r}_1 - \vec{r}_2}{|\vec{r}_1 - \vec{r}_2|^3},$$

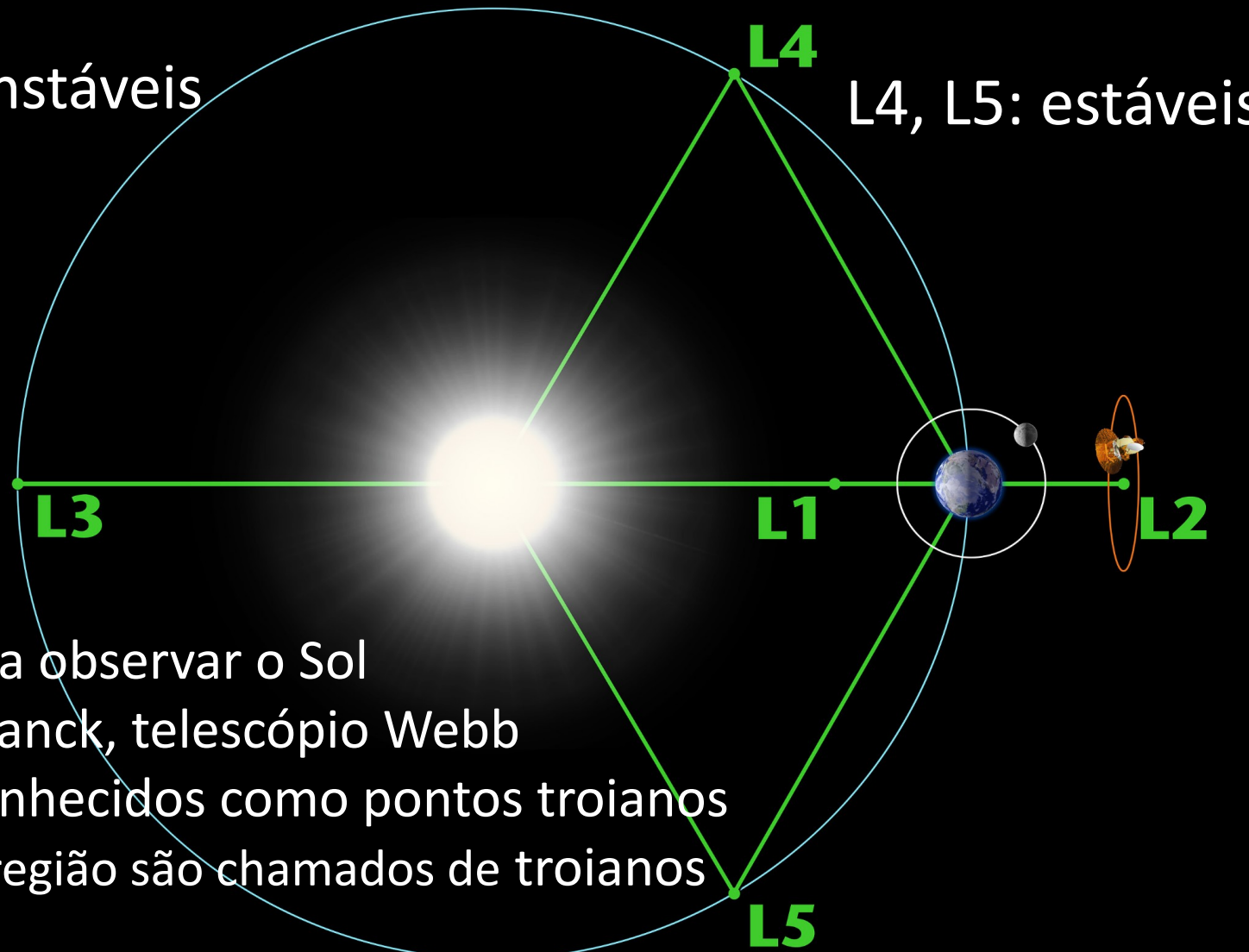
$$\frac{d^2\vec{r}_2}{dt^2} = -Gm_1 \frac{\vec{r}_2 - \vec{r}_1}{|\vec{r}_2 - \vec{r}_1|^3}$$

$$\frac{d^2\vec{r}_3}{dt^2} = -Gm_1 \frac{\vec{r}_3 - \vec{r}_1}{|\vec{r}_3 - \vec{r}_1|^3} - Gm_2 \frac{\vec{r}_3 - \vec{r}_2}{|\vec{r}_3 - \vec{r}_2|^3}.$$

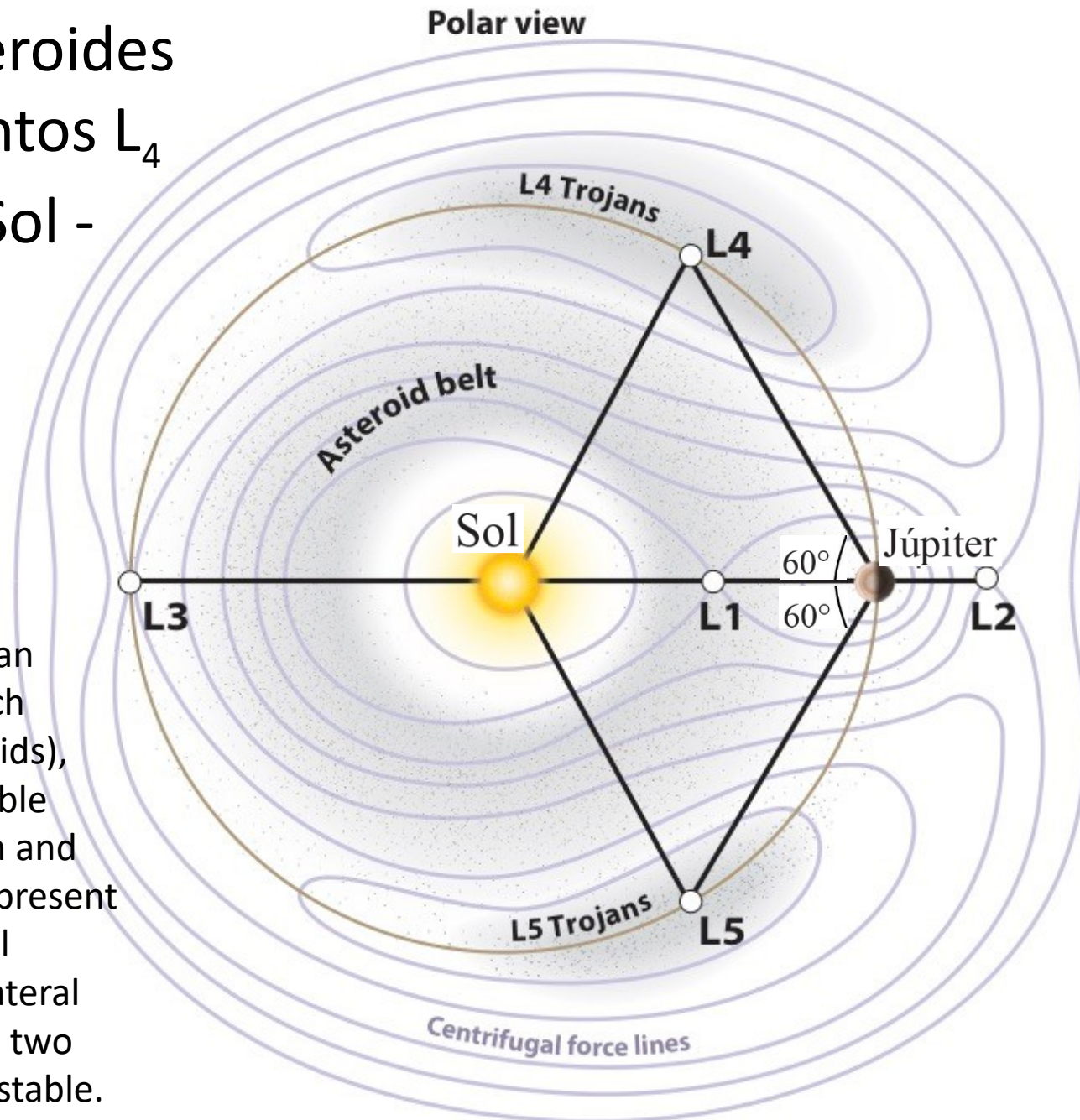
Pontos de Lagrange: regiões onde as forças gravitacionais de 2 massas cancelam a aceleração centrípeta.

L1, L2, L3: instáveis

L4, L5: estáveis

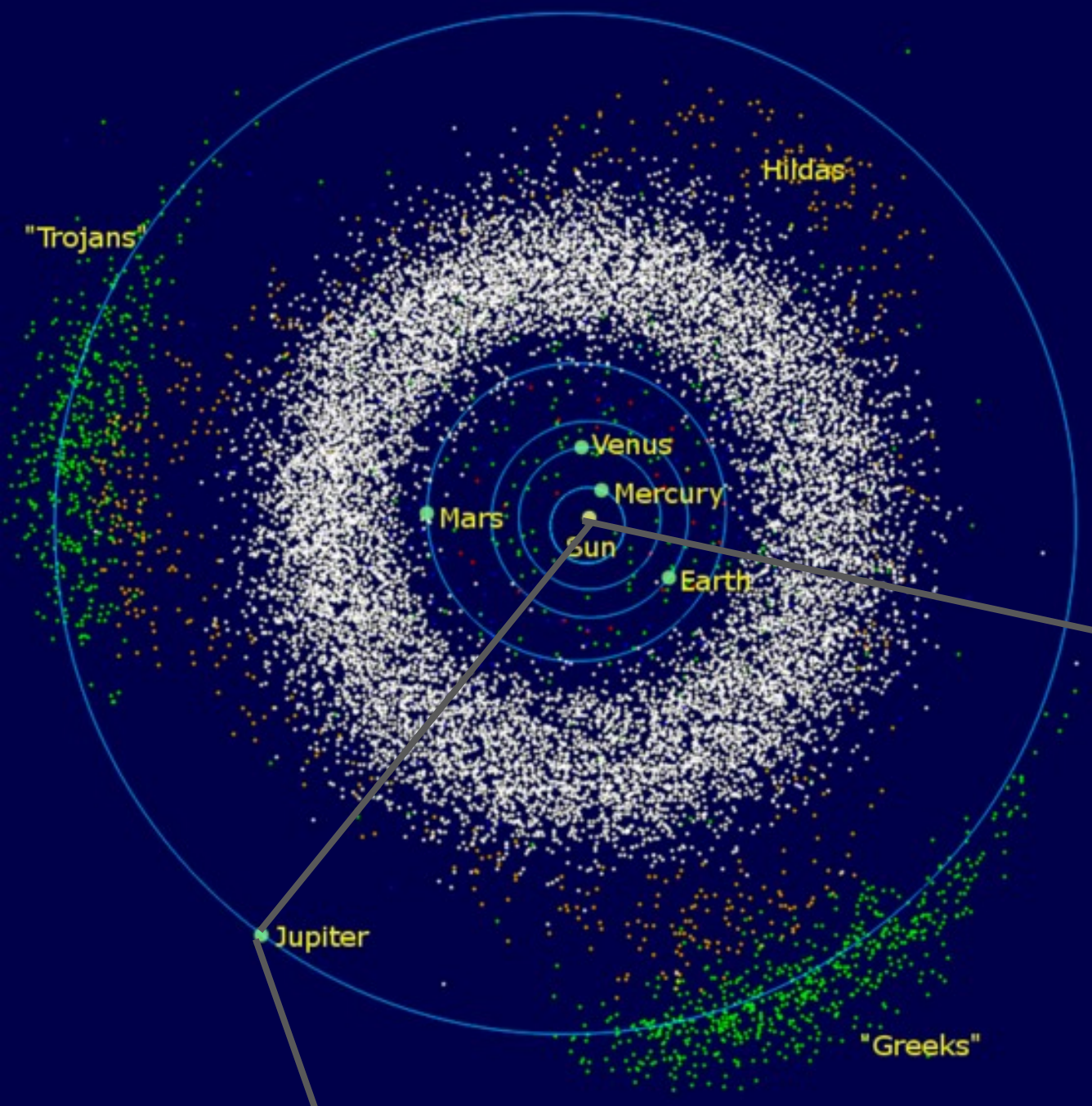


Regiões dos asteroides troianos nos pontos L₄ e L₅ do sistema Sol - Júpiter

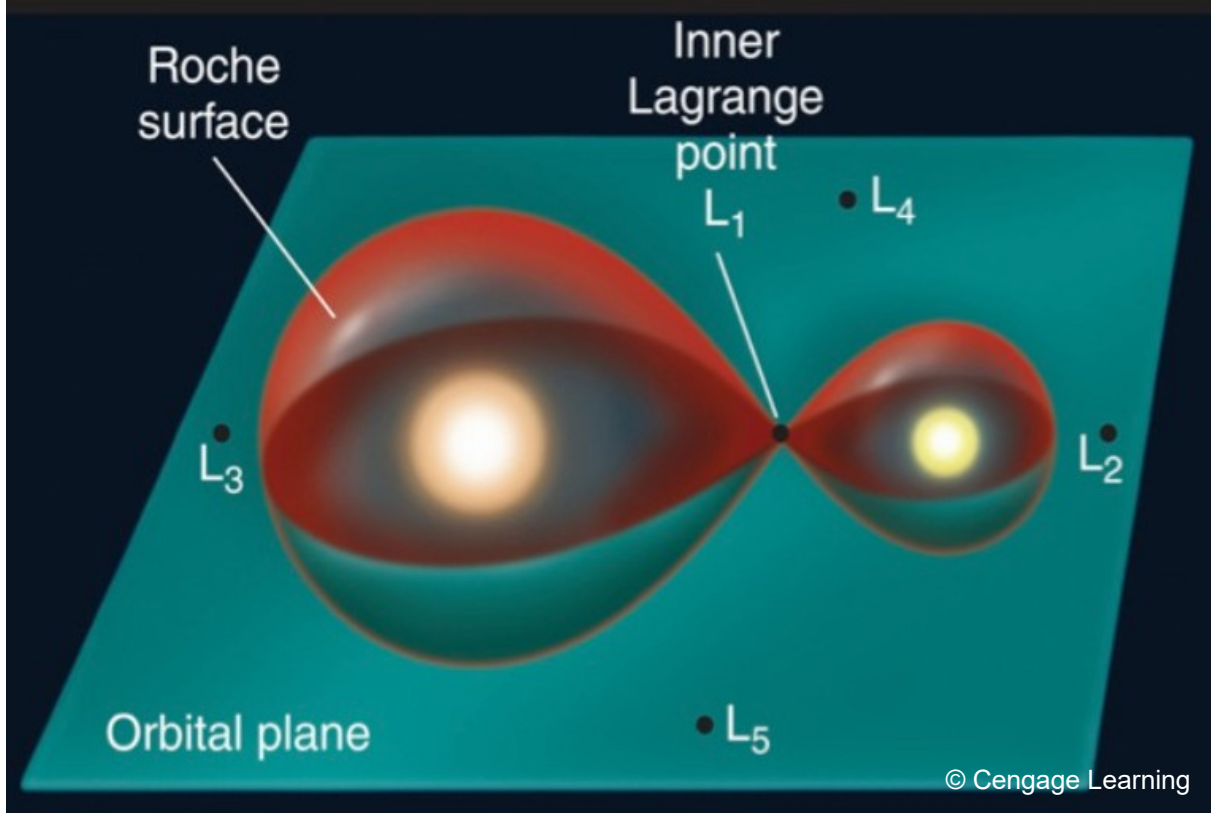


Every planet has 5 Lagrangian points (L1 to L5) where much smaller objects (e.g., asteroids), can maintain somewhat stable positions relative to the Sun and the planet. The contours represent equal gravitational potential energy. L4 & L5 make equilateral triangles in the plane of the two large objects, and both are stable.

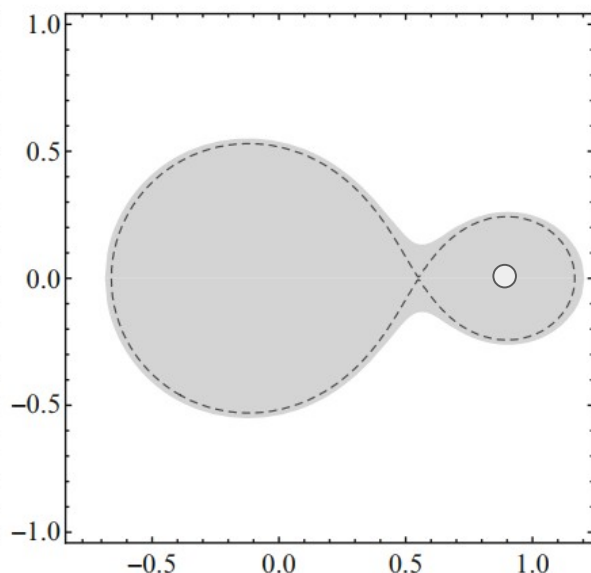
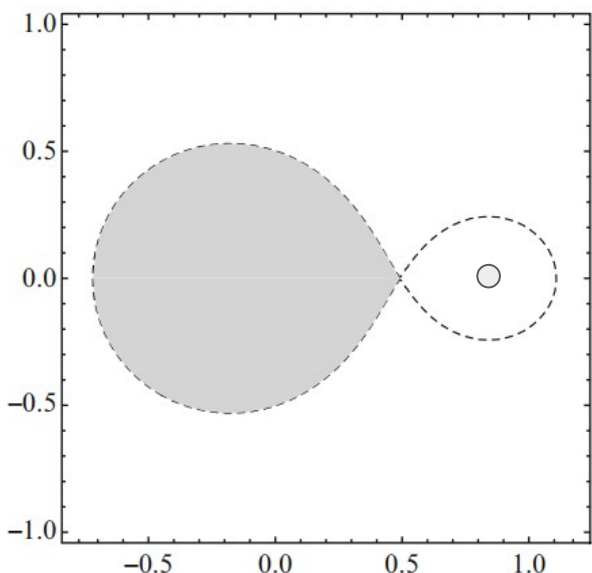
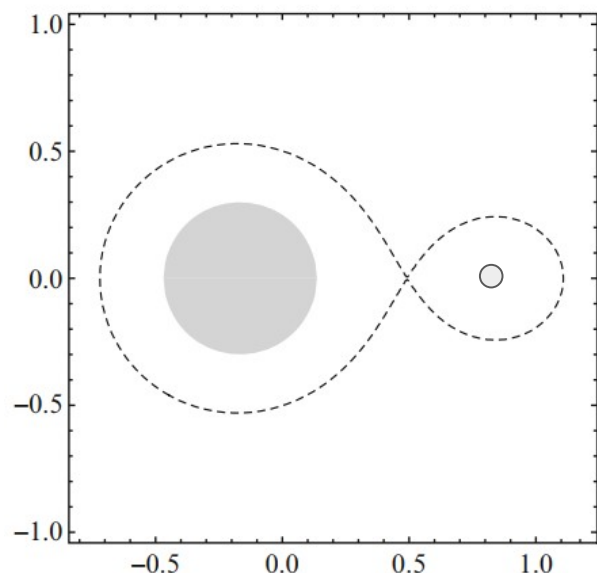
Além do cinturão de asteroides, observamos esses objetos também na região dos pontos de Lagrange L4 e L5 (Troianos) da órbita de Júpiter.



Transferência de massa via ponto L1, se a estrela se expandir durante fase de gigante e preencher o lóbulo de Roche (limite do material vinculado à estrela).



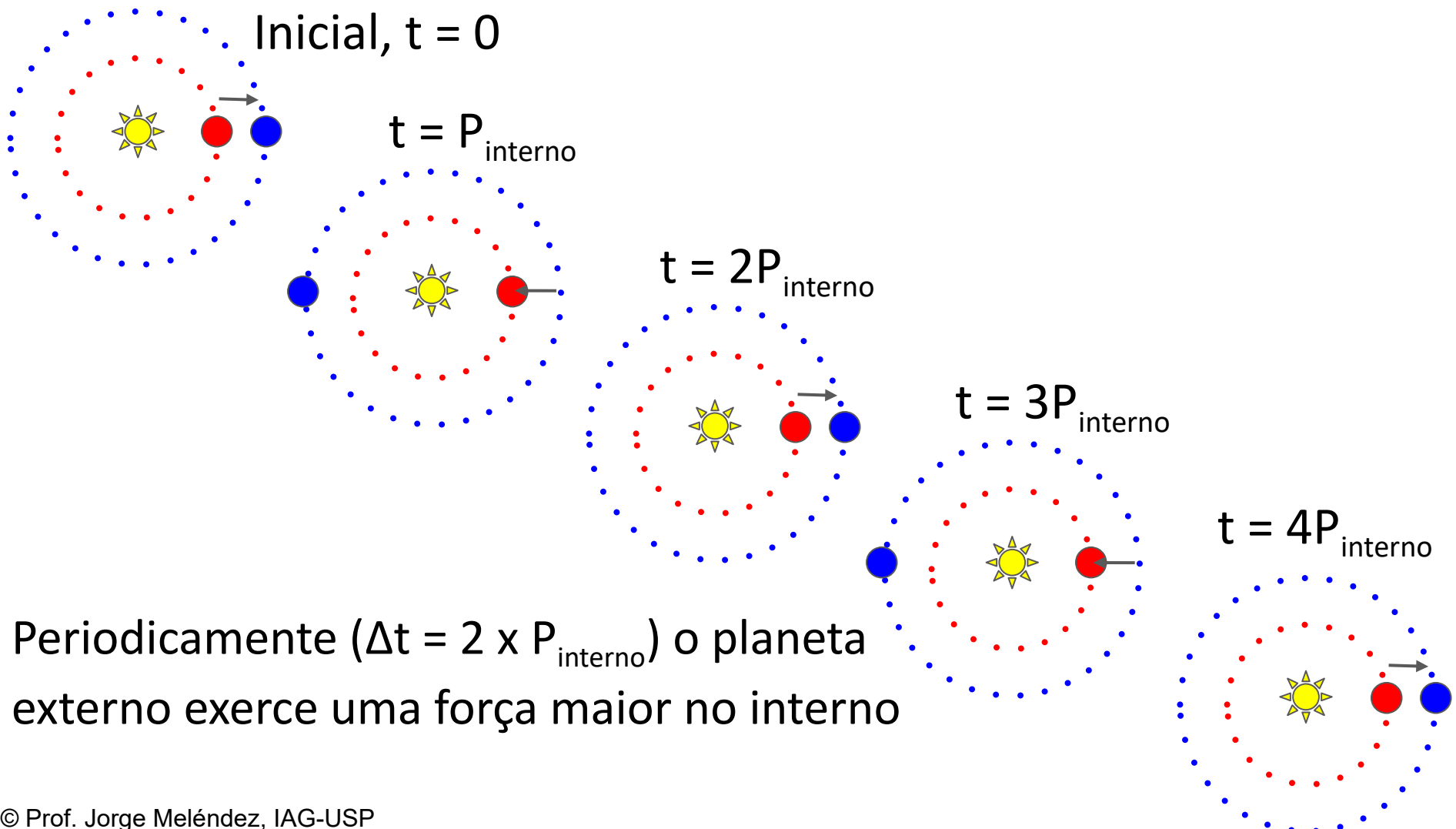
© Cengage Learning



Ressonância: quando períodos têm uma razão entre inteiros

Ex.: Dois planetas com períodos orbitais em ressonância 1:2.

O planeta mais afastado tem período $P_{\text{externo}} = 2 P_{\text{interno}}$



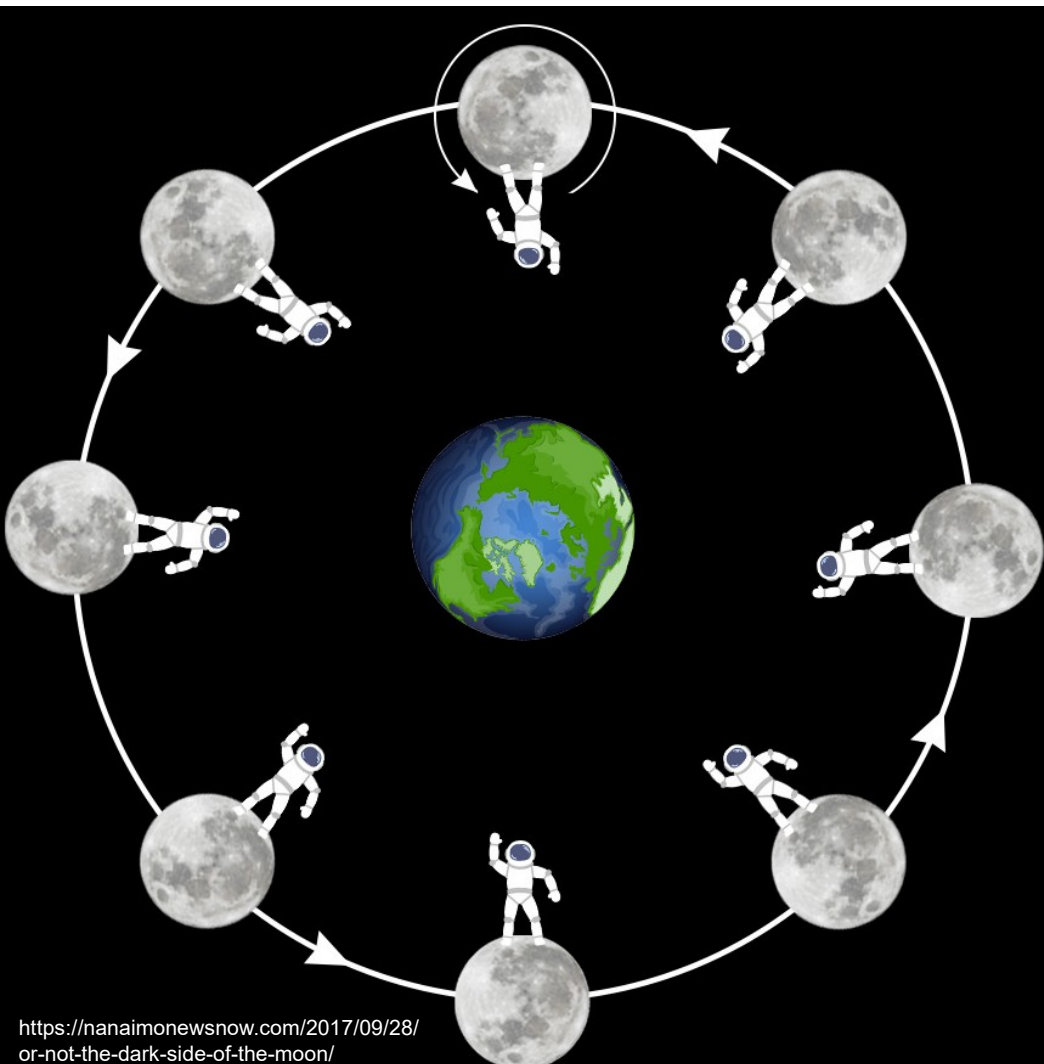
Ressonâncias no Sistema Solar: **Ressonância orbital**, quando períodos de revolução têm uma razão entre inteiros

Exemplo: as 3 (das 4) luas galileanas mais internas de Júpiter, têm ressonância 1:2:4 entre si.



Lua	diâm. km	massa kg	a km	período dias	razão lua/Io
Io	3660	$8,9 \times 10^{22}$	421800	1,769	1
Europa	3122	$4,8 \times 10^{22}$	671100	3,551	2
Ganímedes	5268	$1,5 \times 10^{23}$	1070400	7,151	4
Calisto	4821	$1,1 \times 10^{23}$	1882700	16,69	9,4

Ressonâncias no Sistema Solar: Ressonância spin-órbita, quando o período de rotação está relacionado com o período orbital, via uma razão entre inteiros.



Exemplo: sempre olhamos a mesma face da nossa Lua, devido a ressonância de órbita giratória 1: 1

Período orbital: 27,3 d

Período de rotação: 27,3 d

